

شرایط تبلور و شیمی کانی سنگ‌های آداسیتی شمال دهگلان، شرق کردستان

بهمن رحیم زاده^{*}، پروین شکرالله‌ی^۱، غصون زهیره^۱، فریبرز مسعودی^۱

۱- گروه زمین‌شناسی، دانشکده علوم زمین، دانشگاه شهید بهشتی، تهران، ایران

پذیرش مقاله: ۱۳۹۸/۴/۷

تأیید نهایی مقاله: ۱۳۹۸/۱۲/۲۷

چکیده

منطقه دهگلان در شمال غرب ایران واقع شده است و قسمتی از زون سندج- سیرجان می‌باشد. در این محدوده چندین واحد آتشفشاری حد واسط تا اسیدی به سن میوسن فوکانی- پلیوسن رخنمون دارند. سنگ‌های این منطقه عمدتاً ترکیب آندزیت تا تراکی آندزیت و داسیت دارند. فنوکریست‌های آن‌ها عمدتاً از پلازیوکلاز، هورنبلند و بیوتیت تشکیل شده است. کلینوپیروکسن با فراوانی بسیار کم در فنوکریست‌ها نیز قابل ملاحظه می‌باشد. در این مطالعه با استفاده از ویژگی‌های کانی‌شناسی به بررسی ترکیب، کینتیک تبلور کانی‌ها و ژئو سنگ‌های شمال دهگلان پرداخته شده است. نتایج حاصل از آنالیز نقطه‌ای کانی‌ها در این سنگ‌ها نشان می‌دهند که ترکیب پلازیوکلازها از آندزین تا الیگوکلاز در تغییر بوده و منطقه‌بندی در آنها دیده می‌شود. آمفیبول‌ها عمدتاً از نوع هورنبلند ادنیتی و مگنزیوهومنبلند، کلینوپیروکسن‌ها از نوع اوژیت و بیوتیت از نوع بیوتیت منیزیم‌دار هستند. بیوتیت‌ها اکثراً از نوع ماگمایی اولیه بوده و بین دو قطب فلوگوپیت و آنیت قرار گرفته‌اند. فوگاسیت‌های اکسیژن ماگما براساس شیمی آمفیبول و کلینوپیروکسن در زمان تبلورشان بالا بوده است. بر مبنای ترکیب کلینوپیروکسن و بیوتیت ماهیت ماگمایی اولیه سازنده و محیط تکتونیکی سنگ‌های میوسن بالایی- پلیوسن کالک‌آلکالن بوده که در قوس مرتبط با فروزانش در حاشیه قاره‌ای فعال تشکیل شده‌اند. کلینوپیروکسن‌ها به طور متوسط در فشار ۵ تا ۶ کیلوبار و دمای حدود ۱۰۰۰ تا ۱۱۱۰ درجه سانتی‌گراد، آمفیبول‌ها در فشار ۴ تا ۶ کیلوبار و دمای بین ۷۲۴ تا ۸۶۲ درجه سانتی‌گراد، پلازیوکلاز در دمای بین ۵۵۰ تا ۷۵۰ درجه سانتی‌گراد و بیوتیت در دمای ۷۱۵ درجه سانتی‌گراد متبلور شده‌اند.

واژه‌های کلیدی: آداسیت، دما- فشار سنجی، دهگلان، سندج- سیرجان، شیمی کانی.

میوپلیوسن برونزد دارند (معین وزیری، ۱۳۷۷). سنگ‌های منطقه با ویژگی‌های ژئوشیمیابی شامل٪. $\text{SiO}_2 > 60\%$ ، $\text{Al}_2\text{O}_3 < 15\%$ ، $\text{MgO} < 2\%$. $\text{La/Yb} > 25\%$ و $\text{Sr/Y} > 30$ آداسیت هستند (Azizi et al, 2014) و در تقسیم Martin and Moyen, (2002) جزء آداسیت‌های پر سیلیس (HSA) می‌باشند. سن این سنگ‌ها به روش پتابسیم-آرگون Boccaletti et al, (1977) حدود ۸ تا ۱۱ میلیون سال اندازه‌گیری شده است. به منظور بررسی دقیق‌تر تحولات و شرایط ماقماتیسم سنگ‌های یاد شده، در این پژوهش با استفاده از بررسی شیمی کانی‌ها به روش آنالیز نقطه‌ای (EMPA)، ترکیب شیمیابی کانی‌های موجود، دما- فشار تشکیل کانی‌ها، تحولات ماقمایی و محیط تکتونیکی مورد بحث و بررسی قرار گرفته است.

منطقه مورد مطالعه

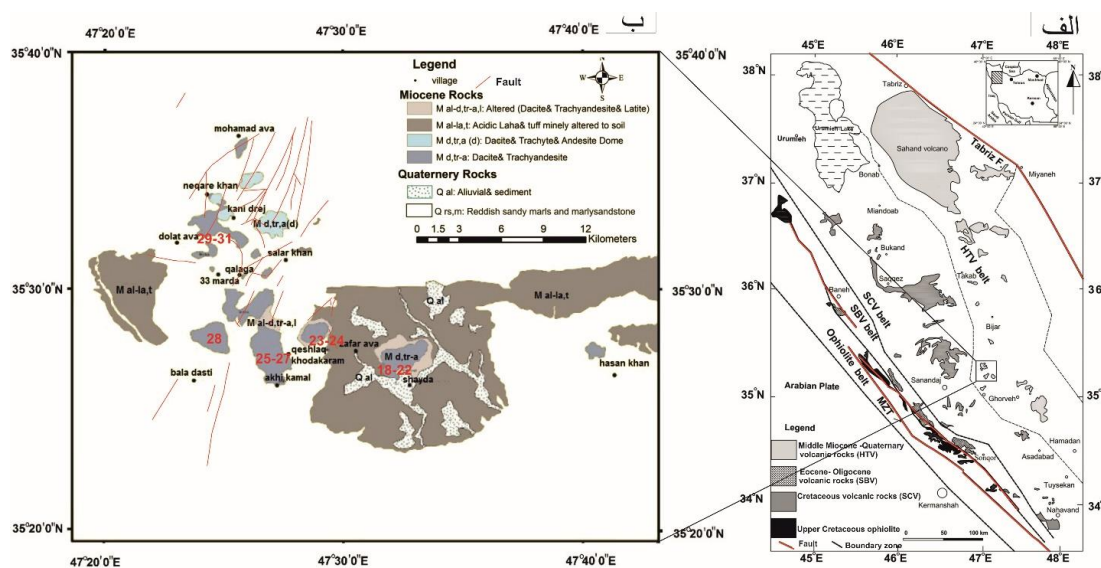
منطقه دهگلان در شرق سنندج، شمال غرب ایران و در تقسیم‌بندی‌های رایج زمین‌شناسی ساختاری ایران (آقانباتی، ۱۳۸۳؛ Stocklin and Nabavi, 1973)، در زون سنندج- سیرجان واقع شده است (شکل ۱). در تقسیم‌بندی جدید عزیزی و معین (Azizi and Moinevaziri, 2009) زمان وزیری ماقماتیسم به عنوان یک پارامتر مهم برای تعیین زون زمین‌شناسی در نظر گرفته شده است. آنها یک مدل جدید را برای محیط تکتونیکی ولکانیسم کرتاسه- کواترنر بین دو گسل روراندگی بزرگ، گسل تبریز و گسل زاگرس، در شمال غرب ایران پیشنهاد کرده‌اند. در این تقسیم‌بندی منطقه مورد مطالعه در کمربند ولکانیک‌های تبریز- همدان (HTV)، بخش شمالی از زون سنندج- سیرجان، قرار دارد. این محققان نشان دادند که

مقدمه

در کوه‌های زاگرس که حاصل برخورد صفحه عربی به میکروپلیت ایران می‌باشد، سه ساختار مشخص شامل زون رسوی زاگرس، زون دگرگونی- ماقمایی سنندج- سیرجان و کمربند ماقمایی ارومیه دختر با روند شمال غرب- جنوب شرق در ایران شکل گرفته‌اند (Hassanzadeh and Wernicke, 2016; Mohajjel et al, 2003; Stocklin, 1968). زون ماقمایی ارومیه دختر که حاصل دور دوم فرورانش نئوتیس به زیر ایران مرکزی است (معین وزیری و همکاران، ۱۳۸۷) در طی ائوسن تا کواترنری به وجود آمده است. هرچند غالب ماقماتیسم ارومیه دختر در ائوسن و Nouri et al, 2018; Chiu (et al, 2013; Ghorbani, 2006 طی میوسن به ویژه در بخش شمالی (Boccaletti et al, 2013; Allen et al, 1977) و کواترنری (et al, 1977) اولیگوسن بوده است (Azizi et al, 2013) نیز فعالیت داشته است. علی‌رغم غالب بودن ماقماتیسم دارای سرشت کالکوآلکالن و آلکالن در ارومیه دختر، با این وجود ماقماتیسم با سرشت آداسیتی به ویژه در طی اولیگومیوسن نیز در این زون دیده می‌شود (Azizi et al, 2014; Jahangiri, 2007; Ahmadzadeh, 2010; Ghadami et al, 2008). سنگ‌های با سرشت آداسیتی با ویژگی‌های $\text{SiO}_2 \geq 56\text{wt}\%$ شامل ژئوشیمیابی $\text{K}_2\text{O}/\text{Na}_2\text{O} \leq 0.5\text{wt}\%$ ، $\text{Al}_2\text{O}_3 \geq 15\text{wt}\%$ ، $\text{Yb} \leq 1/\text{ppm}$ و $\text{Y} \leq 18\text{ppm}$ ، $\text{Sr} > 40\text{ppm}$ مشخص می‌شوند (Defant et al, 1990; Drummond et al, 1996) در دوره میوپلیوسن در شرق سنندج و شمال دهگلان یک مجموعه دم آتشفشاری با سرشت آداسیتی در امتداد شمال غرب- جنوب شرق با ترکیب آندزیت تا داسیت به همراه خاکسترها گستردۀ داسیتی به سن

هستند که جوش‌خوردگی اندکی حاصل کرده و کاربرد پوزولانی دارند (مسعودی و همکاران، ۱۳۹۱). از ویژگی‌های بارز این خاکسترها داسیتی فراوانی زنولیت در آن‌ها است که به صورت تحلیل رفته و گاهی سالم دیده می‌شوند. این زنولیتها در اندازه‌های میکروسکوپی تا ماکروسکوپی دیده می‌شود و حجم آن‌ها در مواردی تا ۱۵ درصد از کل واحد را تشکیل می‌دهند (مسعودی و رحیم زاده، ۱۳۹۰). سن آتشفشن‌های میوسن توسط (Boccaletti et al., 1977)، ۸/۳ تا ۹/۲ میلیون سال (میوسن فوقانی-پلیوسن) برآورد شده است.

سنگ‌های این کمربند عمدهاً دارای ترکیب اسیدی تا حد واسطه (کالک‌آلکالن) و به مقدار کمتر آلکالی بازالت هستند و تشکیل آن‌ها مرتبط با بستن شدن نهایی نئوتیس در زمان میوسن-کواترنر می‌باشد. در شمال دهگلان بین سندنج و قروه چندین آتشفشن اسیدی تا حد واسطه رسوبات میوسن را شکافته و به صورت دم و گدازه در سطح زمین ظاهر شده‌اند. آتشفشن‌های شیدا-آخی کمال و کانی دیرز نمونه‌های این رخداد هستند و شامل گدازه‌های آندزیتی، تراکی آندزیتی، لاتیتی و داسیتی با بافت پورفیریک می‌شوند. سایر رخنمون‌ها غالباً به صورت خاکستر داسیتی سفید و خاکستری رنگ



شکل ۱: (الف) نقشه چینه‌بندی آتشفشن‌های شمال غرب ایران (Azizi and Moinevaziri, 2009)، (ب) نقشه زمین‌شناسی منطقه، اعداد محل نمونه‌برداری (برگرفته از مطالعات صحرایی این تحقیق و اطلاعات موجود در نقشه‌های زمین‌شناسی با مقیاس ۱/۱۰۰۰۰۰ سندنج، قروه، بیجار، دیواندره و تکاب، سازمان زمین‌شناسی و اکتشافات معدنی کشور).

پلاژیوکلاز، آمفیبیول، کلینوپیروکسن و بیوتیت در سنگ‌های آتشفشنی دهگلان، تعداد ۱۱ نمونه از سالم‌ترین سنگ‌ها جهت آنالیز نقطه‌ای EMPA انتخاب و آنالیز حدود ۸۰ نقطه از چهار نوع کانی

مواد و روش‌ها

در این تحقیق پس از نمونه‌برداری صحرایی و تهیه مقاطع نازک میکروسکوپی و پتروگرافی نمونه‌ها، به منظور مطالعه ترکیب شیمی کانی‌های

در این سنگ با حاشیه سوخته (اپاسیته) هستند و به کلریت تجزیه شده‌اند. آن‌ها دارای رنگ قهوه‌ای تا قهوه‌ای کم رنگ و ادخال‌هایی از اپاک یا دیگر کانی‌ها می‌باشند. فراوانی هورنبلندها نسبت به بیوتیت‌ها کمتر می‌باشد، به‌طوری که اغلب داسیت‌ها قادر فنوکریست هورنبلند هستند. آلکالی فلدسپار و کلینوپیروکسن با فروانی کمتر از یک درصد دیده می‌شوند. کانی‌های آپاتیت و اپاک از کانی‌های فرعی موجود در این سنگ‌ها است که به صورت ادخال‌ها در فنوکریست‌ها یا پراکنده در زمینه قرار دارند.

آنذیت - تراکی آندزیت

این گروه از سنگ‌ها در نمونه‌های ماکروسکوپی عمدتاً دارای رنگ اندکی تیره‌تر از داسیت‌ها می‌باشد. فنوکریست‌ها در این سنگ‌ها از پلازیوکلاز، هورنبلند و به مقدار کمتر بیوتیت تشکیل شده‌اند و به صورت نیمه‌شکل‌دار تا شکل‌دار دیده می‌شوند و در پاره‌ای موارد کلینوپیروکسن به عنوان کانی‌های فرعی قابل ملاحظه می‌باشد. فنوکریست‌ها عموماً به صورت منفرد یا گلومروپورفیری در کنار یکدیگر قرار گرفته‌اند. در یک مورد (نمونه QT31) آندزیت حاوی بیگانه‌بلور کوارتز و حاشیه‌بلور توسط شیشه قهوه‌ای کم رنگ به صورت کرونا احاطه شده است (شکل ۲ب). بافت پورفیری با خمیره ریزبلور تا مخفی‌بلور است و در برخی از نمونه‌های سنگی نیز بافت جریانی مشاهده می‌شود. خمیره عمدتاً از بلورهای ریز پلازیوکلاز، هورنبلند و کانی‌های اپاک تشکیل شده است. کانی‌های اپاک و آپاتیت به مقدار بسیار اندک در خمیره و به عنوان ادخال در فنوکریست‌ها یافت می‌شوند (شکل ۲پ). فراوان ترین فنوکریست در این سنگ‌ها پلازیوکلاز نوع آندزین می‌باشد. اندازه آن‌ها حداقل به ۴ میلی‌متر می‌رسد و مقدار آن‌ها در مقاطع از ۳ تا ۲۱ درصد

توسط دستگاه الکترون میکروپروف مدل Camaca SX₅₀ و در شرایط ولتاژ شتاب دهنده ۱۵kV و شدت جریان 10 nA در دانشگاه رم، ایتالیا انجام شد. بعد از جمع‌آوری و تهیه تمام داده‌ها، نمودارهای مورد نیاز توسط نرم افزارهای GCDkit و CorelDRAW، ترسیم و داده‌ها براساس آنها تحلیل شد.

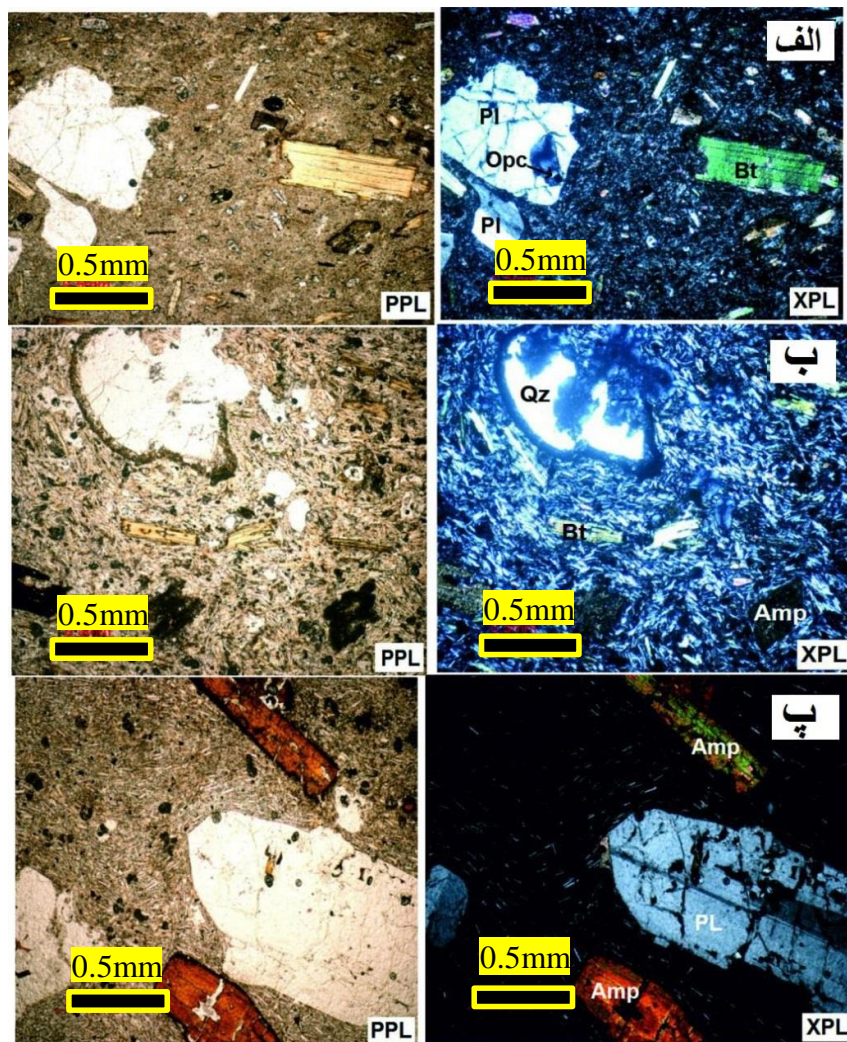
نتایج

سنگ نگاری داسیت

این سنگ‌ها دارای بافت پورفیری با خمیره ریزدانه هوازده است. میکرولیت‌های خمیره عمدتاً از پلازیوکلاز تشکیل شده‌اند که در برخی از موارد حالت جریانی دارند، فلدسپات آلکالن، کوارتز، بیوتیت و کانی‌های اپاک به مقدار اندک در خمیره سنگ یافت می‌شوند. خمیره حدود ۹۰-۷۰ درصد از مقطع را شامل می‌شود. فنوکریست‌های غالب آن‌ها از پلازیوکلاز و بیوتیت تشکیل شده‌اند و متوسط اندازه آن‌ها از ۰/۵ تا ۱/۵ میلی‌متر متفاوت می‌باشد و در بعضی از نمونه‌ها، اندازه فنوکریست‌ها بین ۳ تا ۵ میلی‌متر نیز دیده شده است و فراوانی آن‌ها از نمونه‌ای به نمونه دیگر متغیر است (شکل ۲الف). پلازیوکلازها شواهد شرایط نامتعادل سرد شدن ماقما را نشان می‌دهند. شکستگی محلی، ماکل آلبیتی و کارلسبارد، وجود انکلوزیون‌های متفاوت از کانی‌های اپاک، بیوتیت و غیره می‌تواند از جمله شواهد نامتعادل بودن ماقما باشد. پلازیوکلازهای زمینه داسیت به‌طور اندکی تا شدیداً به کانی‌های سریسیت، کلسیت و کانی‌های رسی تجزیه شده‌اند. کوارتز بی‌شکل تا نیمه‌شکل‌دار با خاموش موجی و حاشیه خلیجی در تمام سنگ‌های این گروه به صورت ریزدانه در خمیره دیده می‌شود. هورنبلند و بیوتیت از دیگر فنوکریست‌های موجود

حوالی اکسیده شده دارند که می‌توان گفت اپاسیته شده‌اند. بیوتیت از دیگر فنوکریست‌های مافیک موجود در این سنگ‌ها می‌باشد. آثاری از دگرسانی کلریتی و ایجاد کانی‌های اپاک در هورنبلند و بیوتیت مشهود است. در صورت وجود فلدسپات آلکالن، آندزیت به سمت تراکی آندزیت تغییر می‌یابد که نوع اخیر کمترین فراوانی را در بین سنگ‌های منطقه به خود اختصاص داده است.

تغییر می‌کند. پلازیوکلازها به‌طور کلی شامل ادخال‌های متنوع بوده و ظاهری اسفنجی (بافت غربالی) را به نمایش می‌گذارند و در بعضی نمونه‌ها دارای ماکل آلبیت-کارلسپاد، پلی‌سنتیک و زونیگ هستند. در این سنگ‌ها هورنبلند فراوان و ترین فنوکریست بعد از پلازیوکلاز بوده و نسبت به داسیت‌ها دارای فراوانی بیشتری می‌باشند. هورنبلندها دارای رخ‌های لوزی شکل هستند و



شکل ۲: (الف) تصاویر میکروسکوپی از سنگ‌های داسیتی حاوی فنوکریست‌های پلازیوکلاز با ادخال‌هایی از کانی‌های اپاک (نمونه QT30). (ب) نمونه آندزیت حاوی بیگانه‌بلور کوارتز با حاشیه شیشه‌ای قهوه‌ای کم رنگ (نمونه QT31). (پ) مقاطع میکروسکوپی آندزیت‌های منطقه حاوی فنوکریست‌های پلازیوکلاز دارای منطقه‌بندی با بافت غربالی و ادخال‌های متنوع (نمونه QT19). علائم اختصار کانی‌های برگرفته از ویتنی و ایوانز (Whitney and Evans, 2010) می‌باشند.

آنها عمدتاً عادی و در یک مورد (نمونه QT27) معکوس است. به طوری که میزان کلسیم از مرکز به سمت حاشیه، در انواع عادی کاهش و در نوع معکوس افزایش می‌یابد. اما در نمونه‌های QT24 و QT29 نتایج آنالیز نقطه‌ای نشان می‌دهند که تغییرات از مرکز به حاشیه محدود است (جدول ۱).

شیمی فلدسپات

نتایج حاصل از آنالیز نقطه‌ای پلازیوکلازها در سنگ‌های مورد بررسی در جدول ۱ آمده‌اند. در سنگ‌های منطقه مقدار آنورتیت پلازیوکلازها بین ۱۹/۵ تا ۴۶/۰ متغیر است و ترکیب آنها از نوع آندزین تا الیگوکلاز می‌باشد (شکل ۳الف). پلازیوکلازها اکثراً ماکل پلی‌سنتمیتک دارند و بعضی منطقه‌بندی نشان می‌دهند. منطقه‌بندی

جدول ۱: نتایج آنالیز نقطه‌ای پلازیوکلازها.

Sample	Rock type	Description	SiO ₂	TiO ₂	Al ₂ O ₃	MgO	CaO	MnO	FeO	SrO	BaO	Na ₂ O	K ₂ O	Sum
Q-T27	Dacite	fel gm 1-5	57/13	-/-2	25/98	-/-3	9/12	-/-1	-/-2	-/-5	-/-0	6/12	-/-3	10-123
Q-T27	Dacite	fel gm 1-8	56/63	-/-2	27/27	-/-3	9/55	-/-0	-/-2	-/-3	-/-3	5/94	-/-3	10-011
Q-T27	Dacite	same fel pheno clear rim 2-2	50/27	-/-0	24/2-	-/-1	5/84	-/-1	-/-2	-/-6	-/-0	7/73	-/-1	99/16
Q-T27	Dacite	same fel pheno clear core 2-3	59/66	-/-2	25/36	-/-1	9/75	-/-3	-/-16	-/-4	-/-6	7/37	-/-2	99/97
Q-T27	Dacite	fel pheno spongy rim 3-6	51/88	-/-0	23/58	-/-0	5/15	-/-0	-/-21	-/-0	-/-5	7/64	-/-5	99/88
Q-T27	Dacite	same fel pheno clear rim 3-7	59/62	-/-2	25/11	-/-1	9/76	-/-7	-/-13	-/-2	-/-7	7/46	-/-5	99/93
Q-T27	Dacite	same fel pheno clear core 3-8	51/29	-/-1	23/69	-/-0	5/23	-/-0	-/-15	-/-1	-/-1	8/05	-/-5	99/39
Q-T27	Dacite	fel gm 3-9	56/13	-/-2	25/86	-/-4	8/95	-/-0	-/-28	-/-2	-/-5	6/13	-/-4	99/01
Q-T27	Dacite	fel pheno core 4-1	55/55	-/-0	27/16	-/-0	8/80	-/-0	-/-19	-/-1	-/-2	6/07	-/-3	98/37
Q-T27	Dacite	fel pheno core 4-1bis	55/61	-/-4	27/11	-/-2	9/30	-/-0	-/-25	-/-13	-/-4	6/24	-/-3	99/05
Q-T24	Trachyte	pl pheno rim 1-1	52/12	-/-4	24/26	-/-2	5/66	-/-0	-/-19	-/-2	-/-17	8/27	-/-1	99/55
Q-T24	Trachyte	same pl pheno core 1-2	57/51	-/-2	22/19	-/-0	4/16	-/-0	-/-13	-/-6	-/-6	8/59	-/-1	10-04
Q-T24	Trachyte	same pl pheno core 1-3	57/51	-/-0	22/14	-/-1	4/16	-/-3	-/-13	-/-7	-/-7	8/74	-/-9	99/95
Q-T24	Trachyte	fel microphen 2-6	57/27	-/-0	22/96	-/-0	4/24	-/-0	-/-16	-/-3	-/-4	8/02	-/-6	10-38
Q-T24	Trachyte	fel pheno rim 2-7	57/5-	-/-4	22/186	-/-1	4/11	-/-0	-/-21	-/-0	-/-3	8/67	-/-7	99/49
Q-T24	Trachyte	same fel pheno core 2-8	51/42	-/-0	22/06	-/-0	4/42	-/-4	-/-20	-/-3	-/-7	8/08	-/-9	98/71
Q-T24	Trachyte	fel pheno core 3-1	57/05	-/-1	22/23	-/-0	4/27	-/-0	-/-18	-/-7	-/-7	8/05	-/-2	10-08
Q-T24	Trachyte	fel micropheno 3-2	57/54	-/-0	22/95	-/-1	4/23	-/-0	-/-21	-/-5	-/-8	8/93	-/-1	10-111
Q-T29	Trachyte	fel pheno rim 1-1	57/25	-/-2	22/38	-/-2	4/76	-/-0	-/-16	-/-0	-/-7	8/42	-/-6	10-123
Q-T29	Trachyte	same fel pheno rim 1-2	57/10	-/-0	22/23	-/-0	4/73	-/-2	-/-15	-/-0	-/-6	8/19	-/-7	10-010
Q-T29	Trachyte	same fel pheno core 1-3	57/42	-/-1	22/19	-/-1	4/70	-/-1	-/-18	-/-0	-/-5	8/22	-/-5	10-0184
Q-T29	Trachyte	same fel pheno core 1-4	57/1-	-/-0	24/26	-/-3	5/46	-/-0	-/-11	-/-3	-/-1	8/00	-/-9	10-0109
Q-T29	Trachyte	fel microphen 4-4	57/22	-/-0	24/17	-/-1	5/77	-/-0	-/-13	-/-0	-/-2	7/92	-/-9	10-128
Q-T20	Dacite-Rhyolite	fel pheno rim 1-1	57/18	-/-1	22/59	-/-0	5/16	-/-2	-/-17	-/-0	-/-2	8/24	-/-3	10-113
Q-T20	Dacite-Rhyolite	fel pheno core 1-2	51/9-	-/-3	24/86	-/-0	5/24	-/-0	-/-16	-/-0	-/-3	7/87	-/-0	10-1146
Q-T20	Dacite-Rhyolite	fel micropheno 1-3	51/47	-/-0	24/62	-/-1	5/17	-/-3	-/-21	-/-5	-/-1	7/92	-/-1	10-1150
Q-T20	Dacite-Rhyolite	fel pheno 1-4	57/51	-/-3	22/88	-/-0	4/26	-/-0	-/-15	-/-0	-/-0	8/87	-/-8	10-1155
Q-T20	Dacite-Rhyolite	fel microphen 2-2	56/48	-/-0	22/18	-/-1	4/27	-/-0	-/-10	-/-0	-/-0	8/66	-/-2	10-1151
Q-T20	Dacite-Rhyolite	fel gm 2-3	59/44	-/-0	25/0-	-/-1	7/99	-/-0	-/-13	-/-6	-/-4	6/88	-/-1	10-1146
Q-T20	Dacite-Rhyolite	fel gm 3-3	57/22	-/-0	24/24	-/-1	5/74	-/-2	-/-26	-/-0	-/-4	7/91	-/-3	10-1146
Q-T20	Dacite-Rhyolite	fel pheno 3-4	59/30	-/-4	26/17	-/-1	8/12	-/-0	-/-17	-/-2	-/-8	6/68	-/-7	10-1125
Q-T20	Dacite-Rhyolite	fel pheno 4-1	57/18	-/-0	22/2-	-/-0	4/39	-/-1	-/-09	-/-0	-/-7	6/19	-/-5	10-1106
Q-T20	Dacite-Rhyolite	fel gm 4-2	59/48	-/-2	25/51	-/-1	7/65	-/-1	-/-29	-/-14	-/-8	6/40	-/-0	10-109

رده‌بندی آمفیبول‌ها (Leake et al, 1997) آمفیبول نمونه‌های مورد بررسی در قلمرو آمفیبول‌های کلسیک قرار می‌گیرند و با $\text{Ca}_B \geq 1.5$ ($(\text{Ca} + \text{Na})_B \geq 1$, $\text{Na} < 0.5$) و $\text{Mg}/(\text{Mg} + \text{Fe}^{+2}) \geq 0.5$ در مقابل سیلیسیم، آمفیبول‌ها اکثراً از نوع هورنبلند ادنیتی و مگنزیو‌هورنبلند می‌باشند (شکل ۳ پ).

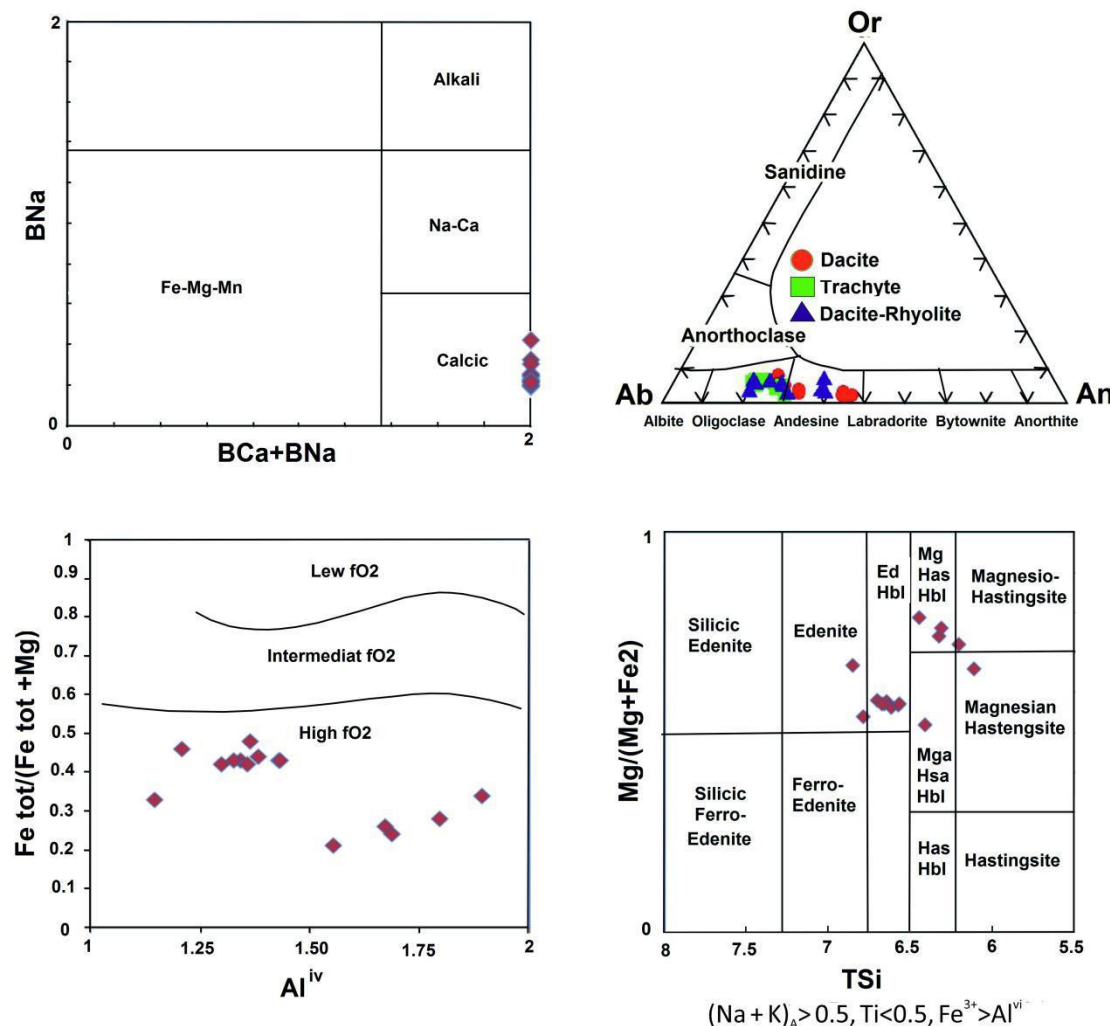
شیمی آمفیبول نتایج حاصل از آنالیز نقطه‌ای آمفیبول‌ها در سنگ‌های مورد بررسی در جدول ۲ آمده‌اند. آمفیبول‌های منطقه مورد مطالعه از نوع کلسیک (غنى از کلسیم و فقیر از تیتانیم) هستند. مقدار TiO_2 در آنها بین ۰/۱۸۲ تا ۰/۱۵۹ و میزان کاتیون Ca^{+2} کمتر از ۵٪ (بین ۰/۰۹۰ تا ۰/۰۲۴) بوده و می‌توان این کم بودن مقادیر TiO_2 در آمفیبول‌ها را با شروع تبلور ایلمنت توجیه نمود. با توجه به معیار

جدول ۲: نتایج آنالیز نقطه‌ای آمفیبول‌ها

Sample	Rock type	SiO_2	TiO_2	Al_2O_3	Cr_2O_3	MgO	CaO	MnO	FeO	Na_2O	K_2O	Sum
Q-T27	Dacite	۴۲/۳۲	۲/۱۴	۱۲/۸۵	۰/۰۴	۱۳/۶۲	۱۱/۲۸	۰/۱۸	۱۲/۵۵	۲/۳۷	۰/۶۵	۹۸
Q-T27	Dacite	۴۴/۰۳	۲/۰۴	۱۱/۲۰	۰/۰۵	۱۵/۷۰	۱۱/۴۴	۰/۱۵	۹/۷۱	۲/۸۳	۰/۶۲	۹۷/۷۷
Q-T27	Dacite	۴۷/۷۲	۰/۸۸	۱۰/۱۲	۰/۰۶	۱۱/۱۱	۱۰/۳۷	۰/۴۶	۱۶/۷۸	۲/۲۰	۰/۹۹	۱۰۱/۱۹
Q-T27	Dacite	۴۳/۴۳	۲/۲۶	۱۱/۹۳	۰/۰۵	۱۵/۳۴	۱۱/۵۹	۰/۱۰	۱۰/۵۲	۲/۳۶	۰/۸۷	۹۸/۴۵
Q-T27	Dacite	۴۹/۰۱	۰/۹۰	۷/۹۴	۰/۰۳	۱۲/۱۰	۱۱/۰۷	۰/۶۱	۱۹/۸۳	۳/۰۴	۰/۹۵	۱۰۰/۴۷
Q-T27	Dacite	۴۵/۵۴	۲/۱۵	۱۰/۷۹	۰/۰۰	۱۶/۸۴	۱۱/۱۶	۰/۰۵	۸/۱۲	۲/۲۲	۰/۷۰	۹۷/۵۶
Q-T27	Dacite	۴۴/۰۵	۲/۱۶	۱۰/۳۸	۰/۰۱	۱۶/۸۸	۱۱/۴۰	۰/۱۹	۹/۲۷	۲/۵۱	۰/۵۹	۹۷/۲۴
Q-T24	Trachyte	۴۵/۹۴	۱/۲۱	۸/۳۹	۰/۰۰	۱۲/۴۷	۱۱/۵۳	۰/۴۳	۱۶/۰۷	۱/۷۶	۱/۰۵	۹۸/۸۴
Q-T24	Trachyte	۴۵/۱۲	۱/۲۲	۸/۶۸	۰/۰۱	۱۲/۰۹	۱۱/۴۱	۰/۴۲	۱۶/۰۵	۱/۷۶	۱/۱۳	۹۷/۹۰
Q-T24	Trachyte	۴۵/۳۵	۱/۳۰	۸/۵۸	۰/۰۳	۱۲/۳۹	۱۱/۲۸	۰/۴۰	۱۶/۱۰	۱/۸۳	۱/۰۳	۹۸/۲۸
Q-T24	Trachyte	۴۵/۴۳	۱/۱۲	۸/۶۸	۰/۰۱	۱۲/۱۳	۱۱/۴۴	۰/۴۹	۱۶/۱۱	۱/۷۴	۱/۰۵	۹۸/۱۷
Q-T24	Trachyte	۴۵/۰۳	۱/۳۷	۸/۹۲	۰/۰۰	۱۱/۹۱	۱۱/۳۳	۰/۴۴	۱۶/۴۳	۱/۹۶	۰/۹۵	۹۸/۳۳
Q-T24	Trachyte	۴۴/۵۵	۱/۴۳	۹/۱۰	۰/۰۴	۱۱/۹۶	۱۱/۲۹	۰/۴۶	۱۶/۱۹	۱/۸۴	۱/۱۲	۹۸/۰۷
Q-T24	Trachyte	۴۴/۴۷	۱/۱۶	۹/۵۹	۰/۰۰	۱۱/۹۱	۱۱/۲۴	۰/۴۴	۱۵/۸۲	۱/۸۴	۱/۱۷	۹۷/۶۳
Q-T29	Trachyte	۴۸/۰۳	۰/۹۶	۸/۲۱	۰/۰۵	۱۴/۴۵	۱۱/۶۹	۰/۴۱	۱۲/۸۴	۱/۹۷	۰/۸۷	۹۹/۴۷

تعیین فوگاسیته اکسیژن (and Smith, 1995) تبلور آمفیبول بالا بوده است (شکل ۳ت). مقدار فوگاسیته اکسیژن مagma به مواد منشأ و محیط تکتونیکی آن وابسته است، به طوری که magma‌های با اکسیداسیون بالا در مرز ورقه‌های همگرا تشکیل می‌شوند (Ewart, 1979) از سوی دیگر آمفیبول‌های مورد بررسی بیشتر غنی از منیزیم بوده که به فوگاسیته بالای اکسیژن وابسته است (Helmy et al, 2004).

تعیین فوگاسیته اکسیژن یکی از فاکتورهای مهم برای شناسایی شرایط فیزیکوشیمیایی magma‌های حاکم بر تبلور آمفیبول‌ها است. با استفاده از ترکیب شیمیایی آمفیبول می‌توان فوگاسیته اکسیژن را به طور تقریبی استنباط کرد. نتایج آنالیز شیمی در بلورهای آمفیبول نشان می‌دهند که $\text{Fe}^{\text{total}}/\text{Fe}^{\text{total}} + \text{Mg} < 0.6$ و در حدود ۰/۲۱ تا ۰/۴۸ و میزان Al^{IV} برابر ۱/۱۴ تا ۱/۸۹ می‌باشند و طبق اندرسون و اسمیت (Anderson



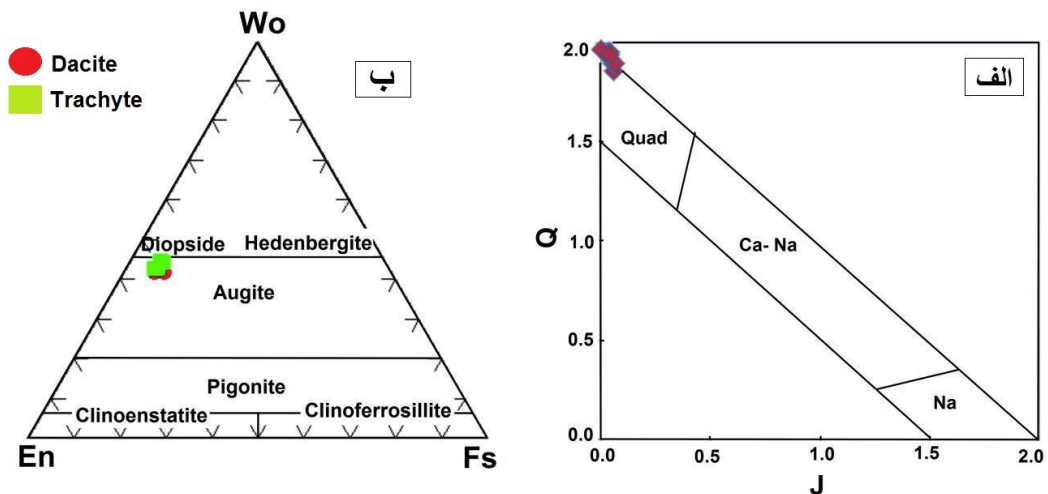
شکل ۳: (الف) ترکیب شیمیایی پلاژیوکلазهای موجود در سنگ‌های منطقه (Deer et al, 1991). (ب و پ) طبقه‌بندی آمفیبول‌های موجود در سنگ‌های منطقه (Leake et al, 1997). (ت) نمودار تعیین فوگاسیته اکسیژن ماقما براساس ترکیب آمفیبول‌ها (Anderson and Smith, 1995).

برای تعیین ترکیب شیمیایی دقیق‌تر کلینوپیروکسن پیروکسن‌های مطالعه شده از نمودار سه‌تایی Wo-Wt-En-Fs (Moromoto et al, 1988) استفاده شده است. همان‌طور که در شکل (۴ ب) ملاحظه می‌شود ترکیب کلینوپیروکسن‌های منطقه اوژیت بوده و عدد منیزیمی Mg# از ۸۷/۰ تا ۹۱/۰ دارند.

نتایج حاصل از آنالیز نقطه‌ای کلینوپیروکسن سنگ‌های منطقه در جدول ۳ آورده شده‌اند. تمام پیروکسین‌های مورد مطالعه در نمودار Q-J در محدوده پیروکسن‌های آهن-منیزیم-کلسیم قرار گرفته‌اند (شکل ۴ الف). در این نمودار شاخص‌های J=2Na ±R⁺³ (R⁺³: Al³⁺, Fe³⁺, Cr³⁺, SC⁺³.Q= Ca²⁺ +Mg⁺² +Fe⁺² و Fe⁺³,Cr³⁺, SC⁺³

جدول ۳: خلاصه‌ای از نتایج آنالیز نقطه‌ای کلینوپیروکسن.

Sample	Rock type	SiO ₂	TiO ₂	Al ₂ O ₃	Cr ₂ O ₃	MgO	CaO	MnO	FeO	Na ₂ O	Sum
Q-T27	Dacite	52/۲۶	۰/۴۰	۲/۶۹	۰/۱۰	۱۷/۵۹	۲۰/۴۹	۰/۲۱	۵/۴۲	۰/۴۱	۹۹/۶۷
Q-T27	Dacite	۵۳/۲۴	۰/۲۸	۲/۱۰	۰/۲۳	۱۷/۳۹	۲۱/۲۶	۰/۱۶	۴/۶۰	۰/۳۶	۹۹/۶۲
Q-T27	Dacite	۵۴/۰.۳	۰/۲۴	۱/۳۸	۰/۳۷	۱۸/۵۴	۲۰/۷۴	۰/۱۷	۴/۱۱	۰/۴۱	۹۹/۹۹
Q-T27	Dacite	۵۴/۰.۷	۰/۲۳	۱/۳۳	۰/۱۱	۱۸/۰۳	۲۱/۰۹	۰/۱۸	۴/۹۴	۰/۲۷	۱۰۰/۲۳
Q-T27	Dacite	۵۴/۴۲	۰/۲۵	۱/۹۸	۰/۲۲	۱۷/۹۰	۲۰/۷۶	۰/۱۸	۴/۴۵	۰/۴۵	۱۰۰/۶۱
Q-T29	Trachyte	۵۴/۹۷	۰/۲۷	۰/۴۷	۰/۱۰	۱۸/۶۴	۲۱/۷۱	۰/۱۶	۳/۹۸	۰/۲۳	۱۰۰/۵۳
Q-T29	Trachyte	۵۴/۷۷	۰/۳۹	۰/۶۰	۰/۰۲	۱۸/۵۰	۲۱/۶۵	۰/۲۳	۴/۴۰	۰/۲۲	۱۰۰/۷۷
Q-T29	Trachyte	۵۴/۷۴	۰/۳۲	۰/۴۲	۰/۰۰	۱۷/۸۰	۲۲/۳۴	۰/۱۱	۴/۲۷	۰/۲۸	۱۰۰/۲۹
Q-T29	Trachyte	۵۵/۱۱	۰/۲۴	۰/۵۴	۰/۰۰	۱۷/۵۰	۲۲/۲۱	۰/۲۳	۴/۵۹	۰/۲۸	۱۰۰/۶۸



شکل ۴: (الف و ب) طبقه‌بندی کلینوپیروکسن‌های منطقه (Moromito et al, 1988)

اکثر کلینوپیروکسن‌های منطقه بر روی حوضه قوس‌های آتشفشنایی مرتبط با فروزانش تصویر می‌شوند (شکل ۵ پ). بررسی نمونه‌ها در نمودار Nisbet and Pearce (Pearce, 1977)، سه‌تایی $\text{TiO}_2\text{-MnO-Na}_2\text{O}$ (Leterrier et al, 1982)، بر مبنای داده‌های حاصل از کلینوپیروکسن، برای تأیید موقعیت تکتونیکی سنگ‌های آتشفشنایی منطقه در زمان تشکیل آنها، نشان می‌دهد که اکثر نمونه‌های منطقه مورد مطالعه در قلمرو مشترک قوس‌های آتشفشنایی (VAB) و سنگ‌های آلکالن درون صفحه (WPA) قرار گرفته‌اند (شکل ۵ ت). که فرض قوس‌های آتشفشنایی با بررسی‌های صحرایی

تعیین سری ماقمایی و موقعیت تکتونیکی براساس شیمی کلینوپیروکسن با استفاده از نمودار Al_2O_3 در برابر (TiO_2) (Le Bas, 1962) ماهیت ماقمای اولیه برای سنگ‌های منطقه کالک‌آلکالن است (شکل ۵ الف). همچنین در نمودار $\text{Ca}+\text{Na}$ در برابر Ti (Leterrier et al, 1982) کلینوپیروکسن‌های سنگ‌های منطقه در محدوده کالک‌آلکالن-تولیئتی (ساب‌آلکالن) واقع شده‌اند (شکل ۵ ب). به منظور تعیین موقعیت تکتونوماقمایی نیز از نمودار $\text{Ca}+\text{Na}$ در مقابل $\text{Ti}+\text{Cr}$ (Leterrier et al, 1982) استفاده شد.

همکاران (Deer et al, 1986) نیز محدوده کانی بیوتیت را از فلوگوپیت براساس نسبت $\text{Fe}^*/(\text{Fe}^*+\text{Mg})$ جدا کردند. با توجه به این موارد بیوتیت‌های موجود در سنگ‌های آتشفسانی منطقه دهگلان بین دو قطب فلوگوپیت و آنیت قرار گرفته‌اند (شکل ۶ ب). ناچت و همکاران TiO_2 - $\text{FeO} + \text{MnO} - \text{MgO}$ تبلور مagma، بیوتیت‌های اولیه تعادل مجدد یافته و بیوتیت‌های ثانویه را از هم تمایز کرده‌اند. براساس این نمودار بیوتیت‌های سنگ‌های حد واسط- اسیدی در منطقه اکثراً از نوع magma اولیه بوده‌اند (شکل ۶ پ)، ترکیب بیوتیت‌های magma اولیه مقادیر بالاتری از TiO_2 دارند (جدول ۴).

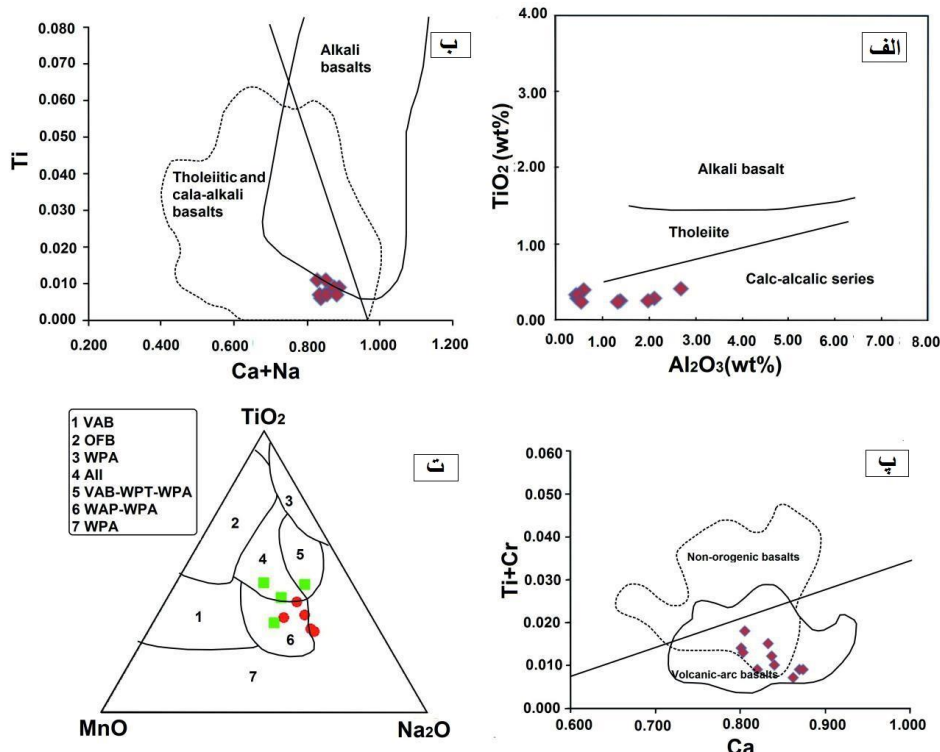
و همچنین پایین بودن میزان TiO_2 آن‌ها انطباق دارد.

تخمین فوگاسیته اکسیژن

با استفاده از نمودار تغییرات $\text{Al}^{vi} + 2\text{Ti} + \text{Cr}$ (Schweitzer et al, 1979) $\text{Al}^{iv} + \text{Na}$ نسبت به ملاحظه می‌شود که کلینوپیروکسن‌ها در سنگ‌های آتشفسانی دهگلان دارای فوگاسیته متغیری از اکسیژن بوده و نمونه‌ها در محدوده فوگاسیته اکسیژن بالایی قرار دارند (شکل ۶ الف).

شیمی بیوتیت

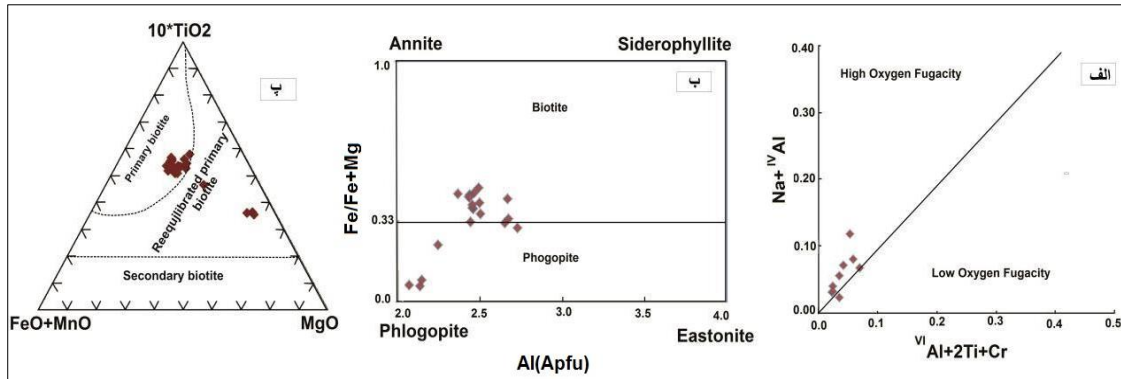
نتایج حاصل از آنالیز نقطه‌ای بیوتیت سنگ‌های منطقه مورد مطالعه در جدول ۴ آورده شده‌اند. فاستر (Forster, 1960) و اسپیر (Speer, 1984) با توجه خاص به تغییرات Al و $\text{Fe}^*/(\text{Fe}^*+\text{Mg})$ میکاها را به چهار گروه آنیت، سیدروفیلیت، فلوگوپیت و ایستونیت تقسیم نمودند. دیبر و



شکل ۵: تعیین سری magma و موقعیت تکتونیکی منطقه براساس شیمی کلینوپیروکسن با استفاده از نمودارهای (Nisbet and Pearce, 1977)، (Leterrier et al, 1982)، (Le Base, 1962) و (پ) (Leterrier et al, 1982).

جدول ۴: خلاصه‌ای از نتایج آنالیز نقطه‌ای بیوتیت.

Sample	Rock type	SiO ₂	TiO ₂	Al ₂ O ₃	Cr ₂ O ₃	MgO	CaO	MnO	FeO	BaO	Na ₂ O	K ₂ O	F	Cl	Sum
Q-T27	Dacite	۷۶/۲۲	۷/۷۴	۱۳/۸۱	-/-۰	۱۲/۲۰	-/-۰	-/-۱۵	۱۹/۷۷	-/-۱	-/-۱۸	۸/۷۴	-/-۳	-/-۰	۹۵/۸۸
Q-T27	Dacite	۷۷/۱۰	۷/۲۷	۱۴/۰۸	-/-۰	۱۴/۰۱	-/-۰	-/-۲۲	۱۷/۶۰	-/-۳۵	-/-۱۰	۸/۷۲	-/-۱	-/-۰	۹۶/۲۳
Q-T27	Dacite	۷۷/۴۰	۷/۰۳	۱۴/۲۴	-/-۰	۱۵/۰۶	-/-۰	-/-۲۷	۱۵/۷۰	-/-۵۵	-/-۱۵	۸/۵۸	-/-۰	-/-۰	۹۶/۲۲
Q-T27	Dacite	۷۷/۱۲	۷/۰۲	۱۳/۸۷	-/-۰	۱۴/۰	-/-۰	-/-۱۸	۱۶/۰۱	-/-۸	-/-۱۲	۸/۵۶	-/-۳	-/-۰	۹۵/۰
Q-T27	Dacite	۷۶/۹۰	۷/۱۶	۱۳/۷۸	-/-۱	۱۲/۷۶	-/-۱	-/-۱۳	۱۹/۰۴	-/-۱۸	-/-۰۶	۹/۹۰	-/-۷	-/-۰	۹۶/۱۲
Q-T24	Trachyte	۷۷/۴۴	۴/۰۲	۱۳/۶۹	-/-۰	۱۳/۰۳	-/-۰	-/-۲۴	۱۸/۱۳	-/-۲	-/-۰	۸/۹۷	-/-۸	-/-۰	۹۶/۴۲
Q-T24	Trachyte	۷۷/۱۶	۴/۰۵	۱۳/۰۸	-/-۰	۱۲/۶۰	-/-۰	-/-۲۰	۱۸/۱۷	-/-۲۸	-/-۱۹	۸/۱۶	-/-۰	-/-۰	۹۶/۹۷
Q-T24	Trachyte	۷۷/۶۲	۷/۷۲	۱۲/۹۱	-/-۰	۱۱/۹۴	-/-۱	-/-۲۴	۱۷/۰۷	-/-۲۰	-/-۲۳	۷/۲۴	-/-۱	-/-۰	۹۲/۰
Q-T24	Trachyte	۷۶/۹۵	۷/۸۱	۱۳/۳۷	-/-۰	۱۲/۶۱	-/-۱	-/-۱۵	۱۷/۶۶	-/-۰	-/-۲۸	۷/۰۵	-/-۹	-/-۰	۹۲/۵۷
Q-T29	Trachyte	۷۷/۲۳	۱/۶۴	۱۲/۴۸	-/-۰	۲۴/۹۸	-/-۰	-/-۰	۳/۴۷	-/-۱۱	-/-۶۴	۹/۶۳	-/-۳	-/-۰	۹۶/۷۲
Q-T29	Trachyte	۴/۰۲۷	۱/۱۰	۱۲/۴۸	-/-۱	۲۳/۹۶	-/-۱	-/-۰	۳/۱۵	-/-۱۷	-/-۱۹	۹/۸۵	-/-۰	-/-۰	۹۳/۴۲
Q-T29	Trachyte	۷۷/۹۴	۷/۲۸	۱۴/۰۱	-/-۰	۱۲/۵۷	-/-۰	-/-۰	۱۶/۷۶	-/-۰	-/-۶۵	۸/۹۹	-/-۳	-/-۰	۹۶/۹۹
Q-T29	Trachyte	۷۷/۶۲	۷/۱۳	۱۳/۰۹	-/-۰	۱۶/۰۹	-/-۰	-/-۱	۱۶/۴۰	-/-۶	-/-۶۷	۸/۷۶	-/-۳	-/-۰	۹۶/۸۴
Q-T29	Trachyte	۷۷/۷۱	۷/۸۲	۱۲/۹۷	-/-۰	۱۶/۱۹	-/-۱	-/-۱۴	۱۷/۱۷	-/-۳۹	-/-۵۸	۹/۰۵	-/-۰	-/-۰	۹۷/۱۲
Q-T29	Trachyte	۴/۱۷۸	۱/۶۲	۱۲/۱۳	-/-۰	۲۴/۱۷	-/-۰	-/-۰	۴/۴۲	-/-۱۷	-/-۴۵	۹/۷۳	-/-۳	-/-۰	۹۶/۴۹
Q-T20	Dacite-Rhyolite	۷۷/۸۷	۷/۷۵	۱۵/۴۲	-/-۰	۱۵/۱۳	-/-۰	-/-۰	۱۴/۲۲	-/-۶۷	-/-۶۷	۹/۰۱	-/-۱	-/-۰	۹۶/۸۱
Q-T20	Dacite-Rhyolite	۷۷/۱۲	۷/۶۰	۱۵/۱۹	-/-۱	۱۳/۲۴	-/-۱	-/-۱۸	۱۷/۷۶	-/-۹۷	-/-۷۲	۸/۷۸	-/-۲	-/-۰	۹۷/۵۷
Q-T20	Dacite-Rhyolite	۴/۰۲۱	۲/۶۶	۱۳/۲۰	-/-۰	۱۹/۵۵	-/-۰	-/-۱۰	۱۱/۰۶	-/-۲۴	-/-۶۳	۸/۹۲	-/-۱	-/-۰	۹۶/۵۶
Q-T20	Dacite-Rhyolite	۷۷/۶۲	۷/۰۶	۱۵/۲۵	-/-۰	۱۵/۲۲	-/-۰	-/-۰	۱۳/۸۰	-/-۸۳	-/-۶۹	۹/۰۵	-/-۰	-/-۰	۹۶/۴۸
Q-T20	Dacite-Rhyolite	۷۸/۰۴	۷/۹۰	۱۵/۸۲	-/-۰	۱۵/۷۲	-/-۰	-/-۱۷	۱۲/۴۴	-/-۸۳	-/-۷۰	۸/۶۷	-/-۲	-/-۰	۹۶/۳۹



شکل ۶: (الف) نمودار (Schweitzer et al, 1979) برای تعیین فوگاسیته اکسیژن در محیط تشکیل کلینوپیروکسن‌های سنگ‌های آتشفسانی منطقه. (ب) طبقه‌بندی شیمیایی میکاهای در سنگ‌های آتشفسانی قروه-بیجار (Speer, 1984) و خط جدا کننده محدوده‌های فلوگوپیت و بیوتیت توسط دیر و همکاران (Deer et al, 1986) اضافه شده است. پ) نمودار ناچت و همکاران (Nachit et al, 2005) جهت تمایز بیوتیت اولیه و بیوتیت‌های اولیه دوباره تعادل مجدد یافته از بیوتیت‌های ثانویه در سنگ‌های مورد مطالعه.

استفاده شده است. با توجه به محاسبات انجام شده متوسط فشار حاکم در زمان تبلور آمفیبول‌های تراکیت و داسیت منطقه، به ترتیب، ۴/۴۵ تا ۴/۸۶ و ۴/۵۲ کیلوبار بوده است. به طور کلی میانگین فشارهای ارزیابی شده در سنگ‌های حد واسط و اسیدی متعلق به سن میوسن بالا-پلیوسن مابین ۳/۹۷ تا ۵/۶۹ کیلوبار با کمترین مقدار در تراکیت {Q-T24} به دست آمد. آنالیز شیمی که در برخی دانه‌های آمفیبول انجام شد، نشان می‌دهد که درصد وزنی Al_2O_3 از مرکز به سمت حاشیه، کاهش می‌یابد و این کاهش با نتایج فشار رابطه مثبت دارد. لذا می‌توان استدلال نمود این کاهش در ارتباط با کاهش فشار می‌باشد. دماسنجدی هورنبلند- پلازیوکلاز (Holland and Blundy, 1994) یکی از همزیست (Ernst, 2002) است که نشان می‌دهد آن‌ها متعلق به سنگ‌های آذرین کالک‌آلکالن به شمار می‌روند درجه سانتی‌گراد (با خطای $\pm 40^\circ\text{C}$) و فشار ۱ تا ۱۵ کیلوبار کاربرد دارد. با توجه به روش‌های ذکر شده در جدول ۶ متوسط دمای تعادل آمفیبول-پلازیوکلاز در سنگ‌های مورد بررسی از ۷۲۶/۶۵ تا ۷۸۸/۲۳ سانتی‌گراد تغییر می‌کند و در ترمومتر اتن (Otten, 1984) میانگین حرارات بین ۷۲۰/۸۳ تا ۸۲۹/۱۷ سانتی‌گراد برآورده شده است. محاسبات انجام شده برای تخمین دمای تبلور آمفیبول‌ها با این روش‌ها تفاوت اندک دارند و متوسط دمای تبلور حاصل از این دو روش بین ۷۲۳/۷ تا ۸۰۸/۷ درجه سانتی‌گراد می‌باشد.

تعیین پتروژنز سنگ‌های آتشفسانی با استفاده از شیمی بیوتیت

عبدالرحمان (Abdel-Rahman, 1994) برای طبقه‌بندی و تعیین سری ماقمایی سازنده گرانیت‌وئیدها از اکسیدهای عناصر اصلی Al_2O_3 و $\text{FeO}_{\text{total}}$ بیوتیت‌ها استفاده کرده است. براساس این طبقه‌بندی، نسبت FeO^*/MgO در بیوتیت‌های سنگ‌های آلکالن برابر ۷/۰۴، در بیوتیت‌های پرآلومین برابر ۳/۸۴ و در بیوتیت‌های کالک‌آلکالن مقدار آن ۱/۷۶ است.

وی بر این اساس سه سری ماقمایی مربوط به سه محدوده تکتونیکی را برای گرانیت‌وئیدها معرفی کرد که هر کدام حاصل نوع و کمیت جانشینی‌های خاصی از سه عنصر آهن، منیزیم و آلومینیم با یکدیگر بوده است. با توجه به نمودارهای شکل (۷ الف، ب، پ و ت)، نمونه‌های آتشفسانی‌های دهگلان در محدوده C قرار می‌گیرند که نشان می‌دهد آن‌ها متعلق به مجموعه‌های ماقمایی کالک‌آلکالن محیط کوهزایی هستند.

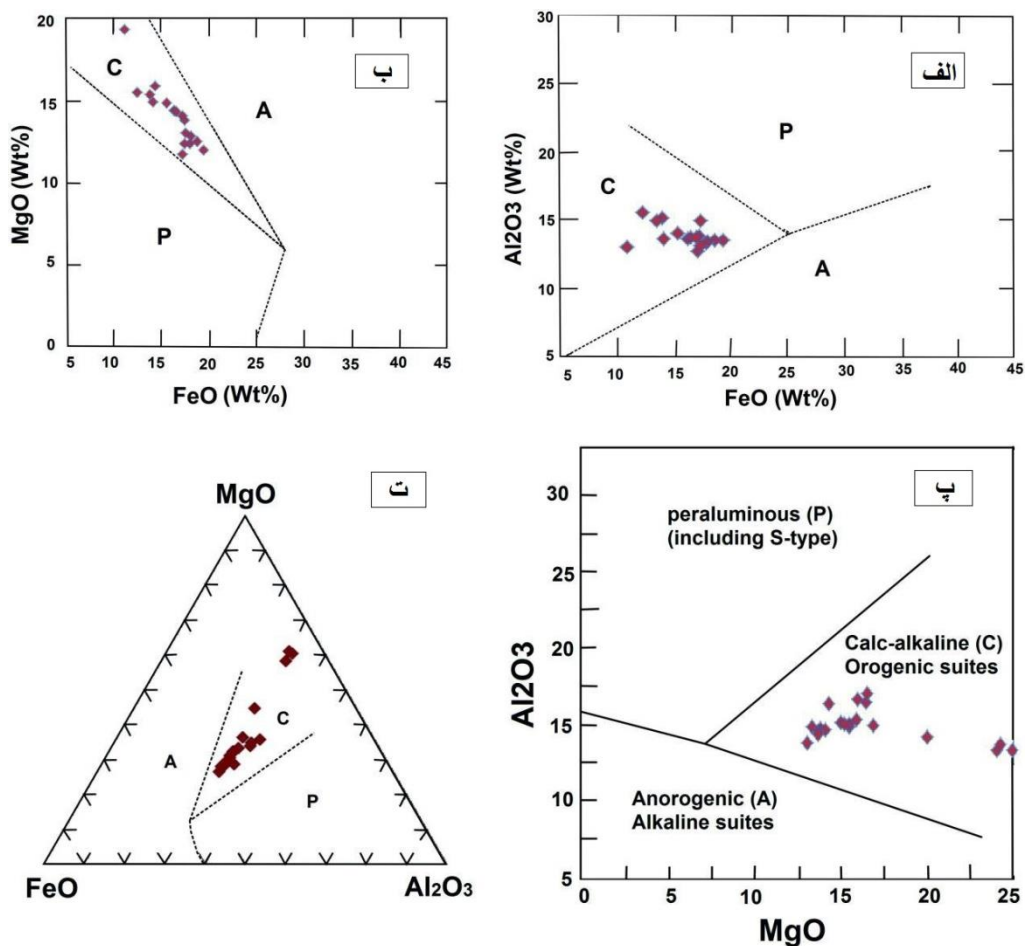
دما-فشار سنجدی

برآورده دمای تشکیل پلازیوکلاز

An-Ab-Or با استفاده از نمودار سه‌تایی (O'Connor, 1965) دمای تبلور پلازیوکلازهای مورد مطالعه در سنگ‌های حد واسط تا اسیدی مربوط به منطقه مورد مطالعه ۵۵۰ تا ۷۵۰ درجه سانتی‌گراد ارزیابی شده است (شکل ۸ الف).

دما-فشار‌سنجدی آمفیبول

به منظور تعیین فشار حاکم بر محیط تبلور آمفیبول‌ها از منابع مختلفی که در جدول ۵ آمده،



شکل ۷: الف، ب، پ و ت) تعیین سری ماغمایی و موقعیت تکتونیکی سنگ‌های آتشفسانی حدوداً سطح اسیدی در منطقه دهگلان (میوسن بالا) براساس ترکیب شیمی بیوتیت‌ها (Abdel-Rahman, 1994). بیوتیت در محدوده A بیانگر گرانیتوئیدهای با منشأ آلکالن محیط غیر کوهزایی است. بیوتیت در محدوده C گرانیتوئیدهای با منشأ ماغمای کالک‌آلکالن در محیط کوهزایی مرتبط با فرونش را نشان می‌دهد و بیوتیت در محدوده P نشان گر گرانیتوئیدهای با منشأ ماغمایی پر آلومین در محیط کوهزایی برخورده است.

جدول ۵: نتایج سنجیده از پنج کالیبراسیون متفاوت برای محاسبه فشار آمفیبولهای مورد مطالعه

Sample	Rock type	Hammarstrom & Zen, 1986	Hollister et al, 1987	Johnson & Rutherford, 1989	Schmidt, 1992	Anderson & Smith, 1995	AVARAGE (Kbar)
Q-T27	Dacite	۷/۱	۷/۶	۵/۸	۷/۴	۴/۶۹	۶/۵۲
Q-T27	Dacite	۶/۲	۶/۶	۵	۶/۶	۴/۲۴	۵/۷۳
Q-T27	Dacite	۵/۱	۵/۴	۴/۲	۵/۶	۴/۰۰	۴/۱۶
							۵/۶۹
Q-T24	Trachyte	۳/۵	۳/۶	۲/۸	۴	۳/۵۰	۳/۴۸
Q-T24	Trachyte	۳/۹	۴	۳/۱	۴/۳	۳/۷۰	۳/۸۰
Q-T24	Trachyte	۴	۴/۱	۲/۲	۴/۴	۳/۴۴	۳/۸۳
Q-T24	Trachyte	۴/۵	۴/۷	۳/۶	۴/۹	۴/۵۶	۴/۴۵
							۳/۹۷

جدول ۶: نتایج دماسنجه برای آمفیبول‌های سنگ‌های مورد مطالعه با استفاده از روش تعادل هورنبلند-پلازیوکلاز (Otten, 1984) و براساس میزان Ti در آمفیبول (Holland and Blundy, 1994).

Sample	Rock type	Ti-C (Amph)	Tc (Otten, 1984)	(PI) T ₀ HB2
Q-T27	Dacite	-/۲۳۳	۸۲۶/۲	۸۰۲
Q-T27	Dacite	-/۲۴۳	۸۲۸/۶	۷۹۳/۱
Q-T27	Dacite	-/۲۴۹	۸۲۲/۷	۷۶۹/۶
			۸۲۹/۱۷	۷۸۸/۲۳
Q-T24	Trachyte	-/۱۴۳	۷۱۸/۱	۷۲۱/۷
Q-T24	Trachyte	-/۱۵۲	۷۲۷/۹	۷۲۶/۷
Q-T24	Trachyte	-/۱۵۹	۷۲۶/۷	۷۵۰/۷
Q-T24	Trachyte	-/۱۲۹	۷۰۰/۶	۷۰۷/۱
			۷۲۰/۸۳	۷۲۶/۵۵

سانتی‌گراد، برآورده شده است (جدول ۴-۷). با توجه به محدوده فشار کلینوپیروکسن‌های مورد بررسی در نمودار (Aoki and Shiba, 1973) و نتایج حاصل از روش سوسو (Soesoo, 1997) و پاتریکا (Putirka et al, 2003) می‌توان متوسط فشار کلینوپیروکسن را در سنگ‌های حد واسطه‌ای سیدی منطقه ۵ تا ۶ کیلوبار در نظر گرفت.

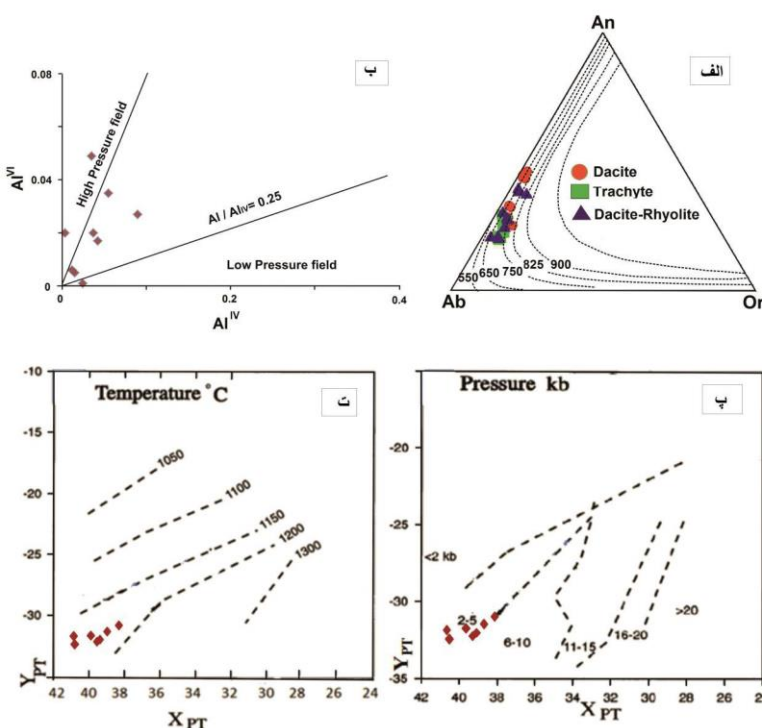
دماسنجه بیوتیت

نمودار Ti موجود در بیوتیت به عنوان تابعی از تغییرات دما شناخته شده است. عواملی که بر مقدار Ti موجود در بیوتیت تأثیر می‌گذارند، صرفاً به تغییرات دما محدود نیستند، بلکه عوامل فشار و شیمی بلور بیوتیت نیز مهم است (Henry and Guidotti, 2002; Henry et al, 2005 همکاران 2005) یک روش را برای بررسی شرایط ترمودینامیکی سنگ‌های پرآلومین در فشارهای کم تا متوسط (۴-۶ کیلوبار) با استفاده از Ti بیوتیت پیشنهاد کردند. دمای تبلور بیوتیت‌های سنگ‌های آتشفشاری منطقه با استفاده از این روش محاسبه شده است که به‌طور متوسط حدود ۷۱۵ درجه سانتی‌گراد به دست آمده است (جدول ۸).

دما-فشار سنجی کلینوپیروکسن
با توجه به نمودار نمودار Al^{iv} Al^{vi} نسبت به Al^{iv} (Aoki and Shiba, 1973) کلینوپیروکسن‌ها در سنگ‌های آتشفشاری حد واسطه- اسیدی در منطقه دهگلان عمدتاً تبلور در فشارهای متوسط را نشان می‌دهد. براساس محاسبات شاخص‌ها و نمودارهای ارائه شده توسط سوسو (Soesoo, 1997) میزان حرارت و فشار تبلور کلینوپیروکسن‌ها در سنگ‌های آتشفشاری منطقه، به ترتیب بین ۱۱۵۰ تا ۱۲۰۰ درجه سانتی‌گراد و ۲ تا ۵ کیلوبار تعیین شده است (شکل ۸ پ و ت). برخی از نمونه‌های مورد بررسی در مرز دو محدوده فشار ۵-۲ و ۱۰-۶ واقع شده‌اند. به همین دلیل شاید فشار تبلور بعضی کلینوپیروکسن‌ها بیشتر از ۵ کیلوبار باشد که برای اطمینان بیشتر دما و فشار نیز با استفاده از روش پیشنهادی پاتریکا (Putirka et al, 2003) محاسبه شد. با توجه به نتایج شیمی کانی و سنگ میزبان محاسبات فشار- دماسنجه نشان می‌دهد که با حرارت تخمین زده از روش قبلی، میانگین فشار تبلور کلینوپیروکسن در سنگ‌های حد واسطه- اسیدی ۶/۳ کیلوبار و میانگین دمای تبلور آن‌ها با فشار مفروض ۲ تا ۵ کیلوبار برابر ۱۰۸۵/۹ درجه

جدول ۷: نتایج فشار- دماستنجی حاصل از روش (Putirka et al, 2003)

Sample	P (Kbar) at T= 1423 K	P (Kbar) at T= 1473 K	Average P (Kbar)	T (C°) at P= 2 Kbar	T (C°) at P= 5 Kbar	Average T (C°)
Q-T27	۶/۲	۷/۵	۶/۹	۱۱۰.۸/۶	۱۱۱۲/۲	۱۱۱۰/۴
Q-T27	۵/۷	۷/۰	۶/۳	۱۱۰۰/۵	۱۱۰۴/۱	۱۱۰۲/۳
Q-T27	۵/۱	۶/۴	۵/۷	۱۰۹۷/۷	۱۱۰۱/۲	۱۰۹۹/۴
Q-T27	۴/۵	۵/۸	۵/۱	۱۰۹۱/۴	۱۰۹۵/۰	۱۰۹۳/۲
Q-T27	۶/۵	۷/۹	۷/۲	۱۱۰۹/۶	۱۱۱۳/۲	۱۱۱۱/۴
Q-T29	۵/۹	۷/۰	۶/۵	۹۹۷/۱	۱۰۰۰/۱	۹۹۸/۶
Average	۵/۶	۶/۹	۶/۳	۱۰۸۴/۱	۱۰۸۷/۶	۱۰۸۵/۹



شکل ۸: (الف) نمودار سه‌تایی An-Ab-Or برای تعیین دمای تعادلی کانی‌های فلدسپار موجود در سنگ‌های منطقه برای محدوده‌ی فشاری یک کیلوبار (O'Connor, 1965)، (ب) برآورد کلی فشار تبلور کلینوپیروکسن (Aoki and Shiba, 1973)، (پ و ت) تعیین دما و فشار کلینوپیروکسن (Soesoo, 1997).

جدول ۸: نتایج ترمومتری کانی بیوتیت (Henry et al, 2005)

Sample	Rock type	Ti(O22)	Mg/Fe+Mg	T(C°)
Q-T27	Dacite	۰/۳۷۲	۰/۶۱	۷۱۹
Q-T27	Dacite	۰/۳۵۹	۰/۵۴	۶۹۷/۳
Q-T24	Trachyte	۰/۹۱۴	۰/۵۶	۷۲۱/۵
Q-T29	Trachyte	۰/۳۴۹	۰/۶۷	۷۲۷/۴
Q-T29	Trachyte	۰/۳۳۷	۰/۵۹	۷۰۰
Q-T20	Dacite-Rhyolite	۰/۳۶۳	۰/۵۷	۷۰۵/۷
Q-T20	Dacite-Rhyolite	۰/۳۵۹	۰/۶۷	۷۳۱/۴
AVERAGE =				۷۱۴/۶

پلازیوکلازی که قسمت مرکز بلور سالم است و حاشیه‌ای با بافت غربالی آن را فراگرفته است. سوکی‌یاما (Tsuchiyama, 1985) معتقد است که بر روی هسته فنوکریست‌های پلازیوکلاز، حلقه غربالی شده‌ای از پلازیوکلاز رشد می‌کند که دارای محتوای کلسیم بیشتری در مقایسه با هسته این بلورها می‌باشد. وجود شرایط غیرتعادلی عامل اصلی ایجاد این حلقه‌هاست که با رشدی سریع ناشی از اختلاط ماقمایی داغ‌تر و غنی‌تر از H_2O و Ca به وجود آمده‌اند. الگوی منطقه‌بندی در پلازیوکلاز تغییرات ترکیب مذاب، مواد فرار، دما و فشار را ثبت می‌کند (Smith and Brown, 1985) کاهش میزان آنورتیت پلازیوکلاز از مرکز به حاشیه با تفريق بلوری سازگار است (Ginibre et al, 2002) ولی این روند در نمونه‌های مورد مطالعه متغیر است. زونیگ معکوس نشانه عدم برقراری تعادل بین بلور و ماقما در اثر اختلاط ماقمایی یا تغییر فشار بخار آب است (Kroll et al, 1993) با توجه به این که در شرایط نزدیک تعادل، تغییرات اندک دما و یا میزان آب، تغییرات قابل توجهی در ترکیب پلازیوکلاز ایجاد نمی‌کند (Loomis and Welber, 1982) می‌توان نتیجه گرفت که پلازیوکلازهایی که تغییر محدود را نشان می‌دهد در نمونه‌های QT24، QT29 در شرایط نزدیک تعادل شکل گرفته‌اند. به هر حال تعداد بیشتر از آنالیز نقطه‌ای در بلورهای مختلف در یک نمونه برای بررسی شرایط ماقمایی و تحولات آن نیاز است. سطوح تحلیل رفته نشان دهنده یک حادثه انحلالی شدید و طولانی مدت هستند که عمدتاً در اثر تغییر در دما، فشار، ترکیب مذاب و محتوی آب ماقما در مقیاس‌های بزرگ‌تر اتفاق افتاده است. به دلیل گرم شدن پلازیوکلاز در دمای بالاتر از دمای تبلور و یا در اثر عواملی همچون شارژ مجدد ماقما (Davidson and

بحث

میکروبافت‌های موجود در پلازیوکلازهای منطقه به دو گروه تقسیم می‌شوند: (الف) بافت‌های مرتبط با رشد بلور، از قبیل بافت‌های غربالی، منطقه‌بندی نوسانی و سطوح تحلیل رفته که در اثر عدم تعادل در فصل مشترک بلور- مایع، به علت تغییرات دما، فشار، آب و ترکیب مذاب متبادر کننده این بلورها ایجاد شده‌اند. (ب) بافت‌های مورفوژیکی نظیر: گلومروکریست، میکرولیت و بلورهای شکسته شده که به واسطه دخالت فرآیندهای دینامیکی ماقمایی در حال تبلور مانند جریان‌های همرفتی، گاززادایی و یا فوران انفجاری حاصل می‌شوند (ایران‌نژادی و دهقی، ۱۳۹۲). بافت غربالی از بافت‌های غیرتعادلی و به دنبال تغییرات فیزیکی و شیمیایی موجود در آشیانه ماقمایی تشکیل می‌شود. بافت غربالی شامل ادخال‌های از شیشه و اکسیدهای اپاک می‌باشد. اندازه غربال‌ها می‌تواند به میزان افزایش سرعت صعود ماقما و یا افزایش محتوی ماقما در حین صعود بستگی داشته باشد (Viccaro et al, 2010). سنگ‌های آتشفسانی منطقه به صورت زیر دیده می‌شود:

پلازیوکلازهایی که تمام سطح بلور آن‌ها حفره حفره بوده و به طور کامل غربالی هستند، دلیل ایجاد این بافت می‌تواند ترکیب یکنواخت کانی باشد که با تغییر شرایط تمام بلور شروع به خورده شدن می‌کند. شلی (Shelley, 1993) معتقد است که بافت غربالی در نتیجه‌ی حضور ادخال‌هایی مرتبط به هم از شیشه یا مواد زمینه به وجود می‌آید که ظاهری متخلخل را در بلور ایجاد می‌نماید. بافت‌های غربالی اسفنجی شکل در پلازیوکلازهای موجود در سنگ‌های آذرین به طور معمول به عنوان نتیجه‌ی اختلاط ماقمایی تصور می‌شود (Tsuchiyama, 1985).

دادن آب حین فوران ماغما باشد (Best, 2001). در نمونه‌های مورد مطالعه حاشیه واکنشی نازک است، نازک بودن حاشیه واکنشی نشان دهنده سرعت زیاد صعود ماغما از عمق و از حوزه پایداری آمفیبول است (Buckley et al, 2006). علاوه بر آن اندازه بلورهای خمیره نیز در این نمونه‌ها بسیار ریز است که احتمالاً نشان دهنده صعود سریع ماغما می‌باشد. فوگاسیته اکسیژن ماغما در زمان تبلور آمفیبول و کلینوپیروکسن بالا بوده است مقدار فوگاسیته اکسیژن ماغما به مواد منشأ و محیط تکتونیکی آن وابسته می‌باشد، به‌طوری که ماغماهای با اکسیداسیون بالا در مرز ورقه‌های همگرا تشکیل می‌شوند (Ewart, 1979).

با توجه به نتایج حاصل از شیمی کلینوپیروکسن و بیوتیت سنگ‌های حد وسط- اسیدی منطقه ماهیت سری کالک‌آلکالن غنی از پتابسیم دارند و در محیط‌های کمان حاشیه قاره‌ای فعال تشکیل شده‌اند، که با مطالعات حاصل از شیمی سنگ کل در منطقه (Allen et al, 2013; Azizi et al, 2013) 2014 زهیره، (۱۳۹۵) هم‌خوانی دارد.

آلن و همکاران (Allen et al, 2013) سنگ‌های آتشفشاری حد وسط- اسیدی را به عنوان سنگ‌های کالک‌آلکالنی که در بالای زون فرورانش تشکیل یافته‌اند، توصیف کردند. عزیزی و همکاران (Azizi et al, 2014) سنگ‌های منطقه را متعلق به گروه آدکیت می‌دانند و منشاء آنها را از ذوب بخشی گوشه‌های متاسوماتیسم شده معرفی کرده‌اند و همچنین عزیزی و همکاران (Azizi et al, 2013) ثابت کردند که بسته شدن نئوتیس و بالا آمدن گوشه‌های سبب رژیم کششی و نازک شدن لیتوسفر در شمال زون سندنج- سیرجان شده است.

(Topley, 1997)، بلورها دچار فرآیند انحلال و ذوب می‌شوند. سپس این بلورها برای برقراری تعادل مجدد با شرایط جدید با ماقمای جدید وارد واکنش شده و تبلور مجدد می‌نمایند (ایران‌نژادی و دهقی، ۱۳۹۲). بافت گلومروپوروفیری شاهدی بر تبلور بخشی و تفرقی ماغمایی است. بافت میکرولیتی که در سنگ‌های مورد مطالعه وجود دارد، می‌تواند ناشی از سرد شدن سریع گدازه (Lofgren, 1980) و یا بالا رفتن دمای لیکیدوس ماغما به هنگام فوران ماغما باشد که در این شرایط فرآیند کاهش فشار سبب گاززدایی، حباب‌دار شدن و اکسولوشن آب شده و این بافت تشکیل می‌شود (Toramaru et al, 2008). فراوانی بلورهای شکسته شده، در گدازه‌های مورد بررسی نشان می‌دهد که فوران انفجاری سبب شکسته شدن آن‌ها شده است. بدین ترتیب که وقتی ماغما به صورت انفجاری فوران می‌کند، ویزیکول‌های غنی از گاز محبوس شده در فشار زیاد سعی می‌کنند از میزان‌های خود بر اثر شکستن بخشی از آن‌ها رها شوند (Miwa and Geshi, 2012).

یکی دیگر از نشانه‌های عدم تعادل در این سنگ‌ها وجود آمفیبول‌های با حاشیه سوخته و اپاسیته شده است. هورنبلند میزان پایداری محدودی داشته و برای متبلور شدن به فشار بخشی آب نسبتاً بالا نیاز دارد. در صورتی که شرایط ناپایدار برای این کانی حاکم باشد با مذاب اطراف طی Coombs and Gardner, 2004 در این شرایط بلورهای هورنبلند به مجموعه‌ای از کانی‌های اپاک (اکسیدهای Ti-Fe) تبدیل می‌گردند.

اپاسیتی شدن آمفیبول از حاشیه شروع شده و گاهی تا بخش‌های مرکزی ادامه می‌یابد. این پدیده می‌تواند نشانه بالا بودن فوگاسیته اکسیژن و فشار بخار آب ضمن تشکیل کانی‌ها و از دست

سانتی‌گراد، پلازیوکلاز در دمای بین ۵۵۰ تا ۷۵۰ درجه سانتی‌گراد و بیوتیت در دمای ۷۱۵ درجه سانتی‌گراد متبلور شده‌اند. فوگاسیته اکسیژن مانگما براساس شیمی آمفیبول و کلینوپیروکسن در زمان تبلورشان بالا بوده است.

مانگماهای سنگ‌های آدکیتی در شمال دهگلان در حین تشکیل فقد آب بوده و فقط کانی‌های با دما و فشار بالا و بدون آب مانند پیروکسن و پلازیوکلاز در آن متبلور شده است. در ادامه و در افق‌های بالاتر ضمن برخورد با آب موجود در پوسته و آلایش با پوسته، که وجود زنولیت‌های فراوان موید آن است، فوگاسیته اکسیژن بالا رفته و کانی‌های بیوتیت و آمفیبول متبلور شده‌اند. ژئوشیمی بیوتیت و کلینوپیروکسن نشان از سرشت کالکوآلکالن مانگماتیسم منطقه است که در محیط حاشیه قاره فعال در ارتباط با آخرین فازهای فرورانش نفوذتیس در منطقه شمالی سندنج-سیرجان در طی میوبليوسن فوران کرده است.

-مسعودی، ف.، رحیم زاده، ب. و پورخورشیدی، ع.ر.، ۱۳۹۱. بررسی قابلیت پوزولانی خاکستری‌های آتشفسانی شمال دهگلان (شرق کردستان)، فصلنامه زمین‌شناسی ایران، سال ۶، شماره ۲۲، تابستان، ص ۶۳-۷۳.

-مسعودی، ف. و رحیم‌زاده، ب.، ۱۳۹۰. بررسی قابلیت پوزولانی خاکستری‌های آتشفسانی شمال دهگلان) شرق کردستان، طرح پژوهشی دانشگاه شهید بهشتی، تهران، ایران.

-معین وزیری، ح.، ۱۳۷۷. دیباچه‌ای بر مانگماتیسم در ایران، انتشارات دانشگاه تربیت معلم، تهران، ایران.

نتیجه‌گیری

سنگ‌های آتشفسانی شمال دهگلان دارای ترکیب غالب ریوداسیتی و گاهی آندزیتی با سرشت کالکوآلکالن هستند که به صورت دم‌های آتشفسانی به همراه حجم زیادی از خاکسترها اسیدی در منطقه رخنمون دارند. فنوکریست‌های پلازیوکلاز با ترکیب آندزین تا الیگوکلاز، هورنبلند ادنیتی و مگزیوهومنبلندی، بیوتیت با ترکیب فلوگوپیت و آنیتی و کلینوپیروکسن با ترکیب دیوپسیدی عمده درشت بلورهای سنگ‌های شمال دهگلان را تشکیل می‌دهند. اوپاسیته شدن حاشیه کانی‌های هورنبلند و بیوتیت گویای افزایش حرارت و اکسیداسیون آن‌ها در مواجهه با اکسیژن جو حین خروج مانگما از سطح زمین و انفجار است که باعث افزایش حرارت و سوختگی کانی‌های آبدار شده است. کلینوپیروکسن‌ها به‌طور متوسط در فشار ۵ تا ۶ کیلوبار و دمای حدود ۱۰۸۶ درجه سانتی‌گراد، آمفیبول‌ها در فشار ۴ تا ۶ کیلوبار و دمای بین ۷۲۴ تا ۸۶۲ درجه

منابع

-ایران‌نژادی، م.ر. و عباسی دهقی، س.، ۱۳۹۲. بررسی علل ایجاد بافت‌های گوناگون پلازیوکلاز در سنگ‌های آتشفسانی سهند، هفدهمین همایش انجمن زمین‌شناسی ایران، دانشگاه شهید بهشتی، تهران، ایران.

-آفانباتی، ع.، ۱۳۸۳. زمین‌شناسی ایران، سازمان زمین‌شناسی و اکتشافات معدنی کشور، تهران، ایران، ۵۸۶ ص.

-غصون، ز.، ۱۳۹۵. کانی‌شناسی و پتروگرافی سنگ‌های آتشفسانی منطقه قروه- بیجار (کردستان ایران)، پایان‌نامه کارشناسی ارشد، دانشگاه شهید بهشتی.

فرورانش نئوتیس در پالوژن، مجله علوم دانشگاه
تهران، شماره ۳۴، ص ۱۱۳-۱۲۲.

-معین وزیری، ح.، عزیزی، ح.، مهرابی، ب. و
ایزدی، ف.، ۱۳۸۷. مآگماتیسم الیکوسن در زون
تراست زاگرس (محور صحنه- مریوان)، دور دوم

- Abdel-Rahman, A.M., 1994. Nature of biotites from alkaline, calc-alkaline and peraluminous magmas, *Journal of Petrology*, v. 35, v. 525-541.
- Ahmadzadeh, G.R., 2010. Petrological studies of volcanic rocks in NW of Marand spatially alkaline rocks, PhD thesis, University of Tabriz, Tabriz, Iran (in Persian).
- Allen, M.B., Kheirkhah, M., Emami, M.H. and Mcledo, C.L., 2013. Generation of Arc and Within-plate Chemical Signatures in Collision Zone Magmatism: Quaternary Lavas from Kurdistan Province, Iran. *Journal of Petrology*, v. 54, p. 887-911.
- Anderson, J.L. and Smith, D.R., 1995. The effect of temperature and fO_2 on the Al-in-hornblende barometer, *American Mineralogist*, v. 80, p. 549-559.
- Aoki, K.I. and Shiba, I., 1973. Pyroxenes from Lherzolite Inclusions of Itinome-Gata, Japan, *Lithos*, v. 6, p. 41-51.
- Azizi, H. and Moinevaziri, H., 2009. Review of the tectonic setting of Cretaceous to Quaternary volcanism in northwestern Iran, *Journal of Geodynamics*, v. 47, p. 167-179.
- Azizi, H., Asahara, Y. and Tsuboi, M., 2013. Quaternary high-Nb basalts: existence of young oceanic crust under the Sanandaj-Sirjan Zone, NW Iran, *International Geology Review*, v. 56, p. 167-186.
- Azizi, H., Asahara, Y., Tsuboi, M., Takemura, K. and Razayani, S., 2014. The role of heterogenetic mantle in the genesis of adakites northeast of Sanandaj, northwestern Iran, *Chemie der Erde–Geochemistry*, v. 74, p. 87-97.
- Best, M.G., 2001. *Igneous Petrology*, Blakwell, 485 p.
- Boccaletti, M., Innocenti, F., Manetti, P., Mazzuoli, R., Motamed, A., Pasquare, G., Radicati, F. and Amin Sobhani, E., 1997. Neogene and Quaternary volcanism of the Bijar Area (Western Iran), *Bulletin of Volcanology*, v. 40-42, p. 121-135.
- Buckley, V., Sparks, R. and Wood, B., 2006. Hornblende dehydration reactions during magma ascent at Soufrière Hills Volcano, Montserrat, *Contributions to Mineralogy and Petrology*, v. 151, p. 121-140.
- Chiu, H.E., Chung, S.L., Zarrinkoub, M.H., Mohammadi, S.S., Khatib, M.M. and Iizuka, Y., 2013. Zircon U-Pb age constraints from Iran on the magmatic evolution related to Neotethyan subduction and Zagros orogeny, *Lithos*, v. 162, p. 70-87.
- Coombs, M.L. and Gardner, J.E., 2004. Reaction rim growth on olivine in silica melts; implications for magma mixing, *American Mineralogist*, v. 89, p. 748-759.
- Davidson, J.P. and Tepley, F.J., 1997. Recharge in volcanic systems: evidence from isotope profiles of phenocrysts, *Science*, v. 275(5301), p. 826-829.
- Deer, W.A., Howie, A. and Sussman, J., 1986. An interdiction to rock-forming minerals. 17th, Longman Ltd, 528 p.
- Deer, W.A., Howie, R.A. and Sussman, J., 1991. An introduction to the Rock forming minerals. 17th, Longman, Ltd, 528 p.
- Defant, M.J. and Drummond, M.S., 1990. Derivation of some modern arc

- magmas by melting of young subducted lithosphere, *Nature*, v. 374, p. 662-665.
- Drummond, M.S., Defant, M.J. and Kepezhinskas, P.K., 1996. Petrogenesis of slab-derived trondhjemite-tonalite-dacite adakite magmas, *Transactions of the Royal Society of Edinburgh, Earth Sciences*, v. 87, p. 205-215.
- Ernst, W.G., 2002. Paragenesis and thermobarometry of Caamphiboles in the Barcroft granodioritic pluton, central White Mountains, eastern California, *American Mineralogist*, v. 87, p. 478-490.
- Ewart, A., 1979. A review of the mineralogy and chemistry of tertiary recent dacitic, latitic, rhyolitic and related salic volcanic rocks, In: Fred, B. (Eds.): *Trondhjemites, dacites, and related rocks*, Springer Verlag, Berlin, v. 6, p. 13-121.
- Forster, M.D., 1960. Interpretation of the composition of tri octahedral mica, United State Geological Survey, Professional Paper, v. 354-B, p. 1-48.
- Ghadami, G., Shahre Babaki, A.M. and Mortazavi, M., 2008. Post-collisional Plio-Pleistocene adakitic volcanism in Central Iranian volcanic belt: geochemical and geodynamic implications. *Journal of Sciences, Iran*, v. 19(3), p. 223-235.
- Ghorbani, M.R., 2006. Lead enrichment in Neotethyan volcanic rocks from Iran: The implications of a descending slab. *Geochemical Journal*, v. 40, p. 557-568. doi:10.2343/geochemj.40.557.
- Ginibre, C., Kronz, A. and Worner, G., 2002. Minor- and trace-element zoning in plagioclase: implications for magma chamber processes at Parinacota volcano, northern Chile. *Contributions to Mineralogy and Petrology*, v. 143, p. 300-315.
- Hammarstrom, J.M. and Zen, E., 1986. Aluminum in hornblende: An empirical igneous geobarometer, *American Mineralogist*, v. 71, p. 1297-1313.
- Hassanzadeh, J. and Wernicke, B.P., 2016. The Neotethyan Sanandaj-Sirjan zone of Iran as an archetype for passive margin-arc transitions, *Tectonics*, v. 35(3), p. 586-621. 10.1002/2015TC003926.
- Helmy, H.M., Ahmed, A.F., ElMahallawi, M.M. and Ali, S.M., 2004. Pressure, temperature and oxygen fugacity conditions of calc-alkaline granitoids, Eastern Desert of Egypt and tectonic implication, *Journal of African Earth Science*, v. 38, p. 255-268.
- Henry, D.J. and Guidotti, C.V., 2002. Ti in biotite from metapelitic rocks: Temperature effects, crystallochemical controls and petrologic applications, *American Mineralogist*, v. 87, p. 375-382.
- Henry, D.J., Guidotti, C.V. and Thomson, J.A., 2005. The Ti saturation surface for low to medium pressure metapelitic biotite: Implications for Geothermometry and Ti-substitution Mechanisms, *American Mineralogist*, v. 90, p. 316-328.
- Holland, T. and Blundy, J., 1994. Non-ideal interactions in calcic amphiboles and their bearing on amphibole-plagioclase thermometry, *Contribution to Mineralogy and Petrology*, v. 116, p. 433-447.
- Hollister, L.S., Grissom, G.C., Peters, E.K., Stowell, H.H. and Sisson, V.B., 1987. Confirmation of the empirical correlation of Al in hornblende with pressure of solidification of calc-alkaline plutons, *American Mineralogist*, v. 72, p. 231-239.
- Jahangiri, A., 2007. Post-collisional Miocene adakitic volcanism in NW Iran: geochemical and geodynamic implications, *Journal of Asian Earth Sciences*, v. 30, p. 433-447.
- Johnson, M.C. and Rutherford, M.J., 1989. Experimental calibration of the

- aluminum-in-hornblende geobarometer with applications to Long Valley Caldera (California) volcanic rocks, *Geology*, v. 17, p. 837-841.
- Kroll, H., Evangelakis, C. and Voll, G., 1993. Two-feldspar geothermometry: a review and revision for slowly cooled rocks, *Contributions to Mineralogy and Petrology*, v. 114, p. 510-518.
- Le Base, M.J., 1962. The role of aluminum in igneous clinopyroxenes with relation to their parentage, *American Journal of Science*, v. 260, p. 267-288.
- Leake, B.E., Woolley, A.R., Arps, C.E.S., Birch, W.D., Gilbert, M.C., Grice, J.D., Hawthorne, F.C., Kato, A., Kisch, H.J., Krivovichev, V.G., Linthout, K., Laird, J., Mandarino, J.A., Maresh, V.W., Nickel, E.H., Rock, N.M.S., Schumacher, J.C., Smith, D.C., Stephenson, N.C.N., Ungaretti, L., Whittaker, E.J.W. and Youzhi, G., 1997. Nomenclature of amphiboles: Report of the subcommittee on amphiboles of the International Mineralogical Association, Commission on New Minerals and Mineral Names. *American Mineralogist*, v. 35, p. 219-246.
- Leterrier, J., Maury, R.C., Thonon, p., Girard, D. and Marchal, M., 1982. Clinopyroxene composition as a method of identification of the magmatic affinities of paleo-volcanic series, *Earth and Planetary Science Letters*, v. 59, p. 139-154.
- Lofgren, G.E., 1980. An experimental study on the dynamic crystallization of silicate melts (Chapter 11). In: Hargraves, R .B. (Ed.), *Physics of Magmatic Processes*, Princeton University Press, Princeton, New Jersey
- Loomis, T.P. and Welber, P.W., 1982. Crystallization processes in the Rocky Hill Granodiorite Pluton, California: An interpretation based on compositional zoning of plagioclase. *Contributions to Mineralogy and Petrology*, v. 8, p. 230-239.
- Martin, H. and Moyen, J.F., 2002. Secular changes in tonalite-trondhjemite-granodiorite composition as markers of the progressive cooling of Earth, *Geology*, v. 30, p. 319-322.
- Miwa, T. and Geshi, N., 2012. Decompression rate of magma at fragmentation: inference from broken crystals in pumice of vulcanian eruption, *Journal of Volcanology and Geothermal Research*, v. 227, p. 76-84.
- Mohajjal, M., Fergusson, C.L. and Sahandi, M.R., 2003. Cretaceous-Tertiary convergence and continental collision, Sanandaj-Sirjan zone, western Iran, *Journal of Asian Earth Sciences*, v. 21, p. 397-412.
- Moromoto, N., Fabrines, J., Ferguson, A.K., Ginzburg, I.V., Ross, M., Seifer, F.A., Zussman, J., Akoi, K. and Gottardi, G., 1988. Nomeclature of pyroxenes, *Mineralogical Magazine*, v. 52, p. 535-550.
- Nachit, H., Ibhi, A., Abia, E.H. and Ohoud, M.B., 2005. Discrimination between primary magmatic biotites, re-equilibrated biotites and neoformed biotites, *Comptes Rendus Geoscience*, v. 337, p. 1415-1420.
- Nisbet, E.G. and Pearce, J.A., 1977. Clinopyroxene composition in mafic lavas from different tectonic settings, *Contributions to Mineralogy and Petrology*, v. 63, p. 149-160.
- Nouri, F., Azizi, H., Stern, R.J., Asahara, Y., Sedigheh, Kh., Madanipour, S. and Yamamoto, K., 2018. Zircon U-Pb dating, geochemistry and evolution of the Late Eocene Saveh magmatic complex, central Iran: Partial melts of sub-continental lithospheric mantle and magmatic differentiation, *Lithos*, v. 314-315, p. 274-292.

- O'Connor, J.T., 1965. A classification for quartz-rich igneous rocks based on feldspar ratios. In: US Geological Survey Professional Paper B525, United States Geological Survey, p. 79-84.
- Otten, M.T., 1984. The origin of brown hornblende in the artfjället gabbro and dolerites, Contribution to Mineralogy and Petrology, v. 86, p. 189-199.
- Putirka, K.D., Mikaelian, H., Ryerson, F. and Shaw, H., 2003. New clinopyroxene-liquid thermobarometers for mafic, evolved, and volatile-bearing lava compositions, with applications to lavas from Tibet and the Snake River Plain, Idaho, American Mineralogist, v. 88(10), p. 1542-1554.
- Schmidt, M.W., 1992. Amphibole composition in tonalite as a function of pressure an experimental calibration of the Al-hornblende barometer, Contribution to Mineralogy and Petrology, v. 110, p. 304-310.
- Schweitzer, E.L., Papike, J.J. and Bence, A.E., 1979. Statistical Analysis of Clinopyroxenes from Deep-sea Basalts, American Mineralogist, v. 64, p. 502-513.
- Shelley, D., 1993. Igneous and metamorphic rocks under the microscope, Chapman and Hall, University Press, Cambridge, Great Britain, 445 p.
- Smith, J.V. and Brown, W.L., 1988. Feldspar minerals: Crystal structures, physical, chemical, and microstructural properties, Springer Verlag, New York, 646 p.
- Soesoo, A., 1997. A multivariate statistical analysis of clinopyroxene composition: empirical coordinates for the crystallization P-T estimations, Geological Society of Sweden (Geologiska Föreningen), v. 119, p. 55-60.
- Speer J.A., 1984. Micas in igneous rocks, In: Micas, Bailey, S. W. (editor), Reviews in Mineralogy, Mineralogical Society of America, v. 13, p. 299-356.
- Stocklin, J. and Nabavi, M.H., 1973. 1/2,500,000 sheet, tectonic map of Iran.
- Stocklin, J., 1968. Structural history and tectonic of Iran; A Review of the American Association, Petroleum Geologists Bull, v. 52, p. 1229-1258.
- Toramaru, A., Noguchi, S., Oyoshihara, S. and Tsune, A., 2008. MND (microlite number density) water exsolution rate meter, Journal of Volcanology and Geothermal Research, v. 175, p. 156-167.
- Tsuchiyama, A., 1985. dissolution kinetics of plagioclase in the melt of the system diopside-albite - anorthosite and origin of dusty plagioclase in andesite, Contribution to Mineralogy and petrology, v. 89, p. 1-16.
- Viccaro, M., Giacomo, P.P., Ferlito, C. and Cristofolini, R., 2010. Dynamics of magma supply at Mt. Etna volcano (Southern Italy) as revealed by textural and compositional features of plagioclase phenocrysts, Lithos, v. 116, p. 77-91.
- Whitney, D.L. and Evans, B.W., 2010. Abbreviations for names of rock forming minerals, American Mineralogist, v. 95, p. 185-187.